

PROYECTO – EL EDEN MUNICIPIO DE LA UNIÓN (ANT) ESTUDIO DE SUELOS DICIEMBRE DE 2023





TABLA DE CONTENIDO

1	PRE	SENT	ACIÓN	5
2	LOC	CALIZA	ACIÓN	6
3	DES	CRIP	CIÓN DEL PROYECTO	7
4	ASP	есто	S GEOTÉCNICOS	9
	4.1	EXP	LORACIÓN DE CAMPO Y ANÁLISIS DE LABORATORIO	9
	4.2	CAR	ACTERÍSTICAS GEOTÉCNICAS GENERALES	12
	4.2.	.1	Aspectos geológicos	12
	4.2.	.2	Génesis geológico	
	4.2.	.3	Geomorfología:	12
	4.2.	.4	Condiciones de estabilidad geotécnica:	12
	4.2.	.5	Estratigrafía	12
	4.2.	.6	Nivel Freático	13
	4.3	Aná	lisis potencial de licuación	14
5	ANA	ÁLISIS	DE CIMENTACIONES	18
	5.1	SIST	EMA DE CIMENTACIÓN	18
	5.2	PRO	PIEDADES MECÁNICAS DEL SUBSUELO	18
	5.3	CÁL	CULO DE LA CAPACIDAD PORTANTE DE LOS PILOTES	20
	5.4	CÁL	CULO DE LA CAPACIDAD PORTANTE DE LA LOSA	24
	5.5	CÁL	CULO DE ASENTAMIENTOS	24
	5.5.	.1	Asentamiento Losa de cimentación	24
	5.5.	.2	Asentamiento del sistema de Pilotes	. ¡Error! Marcador no definido.
	5.6	DEF	INICIÓN DEL SISTEMA DE CIMENTACIÓN	28
	5.6.	.1	Pilotes	28
	5.6.	.2	Losa de cimentación	28
	5.7	PRO	CESO CONSTRUCTIVO	29
	5.8	PAR	ÁMETROS PARA DISEÑO SISMO-RESISTENTE	31
	5.8.	.1	Perfil del subsuelo	32
	5.8.	.2	Módulo de reacción lateral	33
				_





5.9	SISTEMAS DE	E DRENA	ŊΕ						34
			_						
5.10	INCIDENCIA	DE LA	N IMPLANTACIÓN	DEL	PROYECTO	EN	LA	INFRAESTRUCTURA	Υ
CONST	RUCCIONES V	/ECINAS)						34
5 11	OTRAS RECO	MENIDA	CIONES					:	2/

INDICE DE FIGURAS

Figura 1. Localización del proyecto	6
Figura 2. Urbanismo General	7
Figura 3. Planta edificios	7
Figura 4. Vista frontal del proyecto	8
Figura 5. Vista Lateral del proyecto	8
Figura 6. Localización sondeos exploratorios	10
Figura 7. Perfil estratigráfico	13
Figura 8. Análisis licuación perforación 9	15
Figura 9. Análisis licuación perforación 11	16
Figura 10. Análisis licuación perforación 14	16
Figura 11. Análisis licuación perforación 18	17
Figura 12. Correlación SPT - ángulo de fricción	18
Figura 13. Correlación SPT - Módulo de elasticidad	19
Figura 14. Etapa 1 - colocación del remplazo estructural	29
Figura 15. Etapa 2 - construcción de pilotes	30
Figura 16. Etapa 3 - Construcción parcial de la estructura	¡Error! Marcador no definido.
Figura 17. Etapa 4 - Construcción losa de cimentación	¡Error! Marcador no definido.
Figura 18. Terminación de la estructura	30
Figura 19. Perfil de velocidades	31
Figura 20. Clasificación de los perfiles de suelo	32





INDICE DE TABLAS

Tabla 1. Nomenclatura y profundidad sondeos	9
Tabla 2. RESUMEN DE RESULTADOS DE EXPLORACIÓN Y DE LABORATORIO	11
Tabla 3. Registros de nivel freático	13
Tabla 4. Valores CRR	14
Tabla 5. Factor de corrección CRR	15
Tabla 6. Parámetros geomecánicos del suelo	19



1 PRESENTACIÓN

Este documento corresponde al informe del estudio de suelos y recomendaciones geotécnicas para el proyecto denominado "EL EDEN", localizado en el municipio de LA UNIÓN (Antioquia), cuya construcción estará a cargo de la firma EDYFICA, el cual estará conformado en su primera etapa por tres torres de apartamentos de 5 niveles.

El estudio se adelantó de acuerdo con los términos de referencia establecidos en la propuesta técnica-económica presentada a consideración de la firma **EDYFICA**, propuesta que fue aprobada oportunamente por dicha empresa; se orientó entonces a identificar en detalle las condiciones geotécnicas del subsuelo y sus propiedades mecánicas aplicables al análisis y al diseño de la infraestructura correspondiente al edificio en cuestión.

Para el desarrollo del estudio, la empresa **EDYFICA** suministró información correspondiente a la exploración del subsuelo (perforaciones en profundidad y ensayos de laboratorio), adelantados por la empresa INCIGAM con fecha de diciembre de 2020.; dicha información fue procesada y evaluada por parte nuestra; con base en ello se realizaron entonces los análisis correspondientes de acuerdo con la tipología de las edificaciones en proyecto. El estudio se orientó **específicamente** a analizar alternativas de cimentación de los edificios con base en la información del estudio de suelos disponible.

De acuerdo con lo anterior se establecieron criterios y parámetros de tipo geotécnico aplicables al análisis y diseño del sistema de cimentación de las edificaciones en cuestión y de su infraestructura correspondiente.

Se presentan entonces en este documento conclusiones en relación con las características geotécnicas del lugar y se formulan criterios, parámetros y recomendaciones aplicables a la elaboración de los diseños correspondientes y para la construcción del proyecto.

Se consigna en este informe una memoria descriptiva del proceso desarrollado, resultados y conclusiones específicas en relación con los siguientes aspectos:

- Tipo de formación geológica;
- Relieve predominante;
- Configuración estratigráfica del subsuelo;
- Propiedades mecánicas de los materiales predominantes.
- Condiciones de agua libre subterránea;
- Tipo, profundidad y características de sistemas de cimentación;



- Parámetros por tener en cuenta para el diseño sismo resistente de las estructuras;
- Recomendaciones generales para sistemas de drenaje.
- Recomendaciones geotécnicas aplicables al proceso constructivo.

2 LOCALIZACIÓN

El proyecto se encuentra ubicado en el sector El Edén del municipio de La Unión, a la altura de la vía La Unión-Sonsón, a menos de 1 km hacía el oriente del casco urbano del municipio. El Municipio de La Unión se localiza en el Oriente Antioqueño, limitando con los municipios de La Ceja, Abejorral, Carmen de Viboral y Sonsón.



Figura 1. Localización del proyecto



3 DESCRIPCIÓN DEL PROYECTO

El proyecto en cuestión estará conformado por tres torres de apartamentos de 5 niveles. La estructura de las torres estará conformada por muros en concreto reforzado.

En las figuras 1 y 2 se ilustra la distribución del proyecto.



Figura 2. Urbanismo General

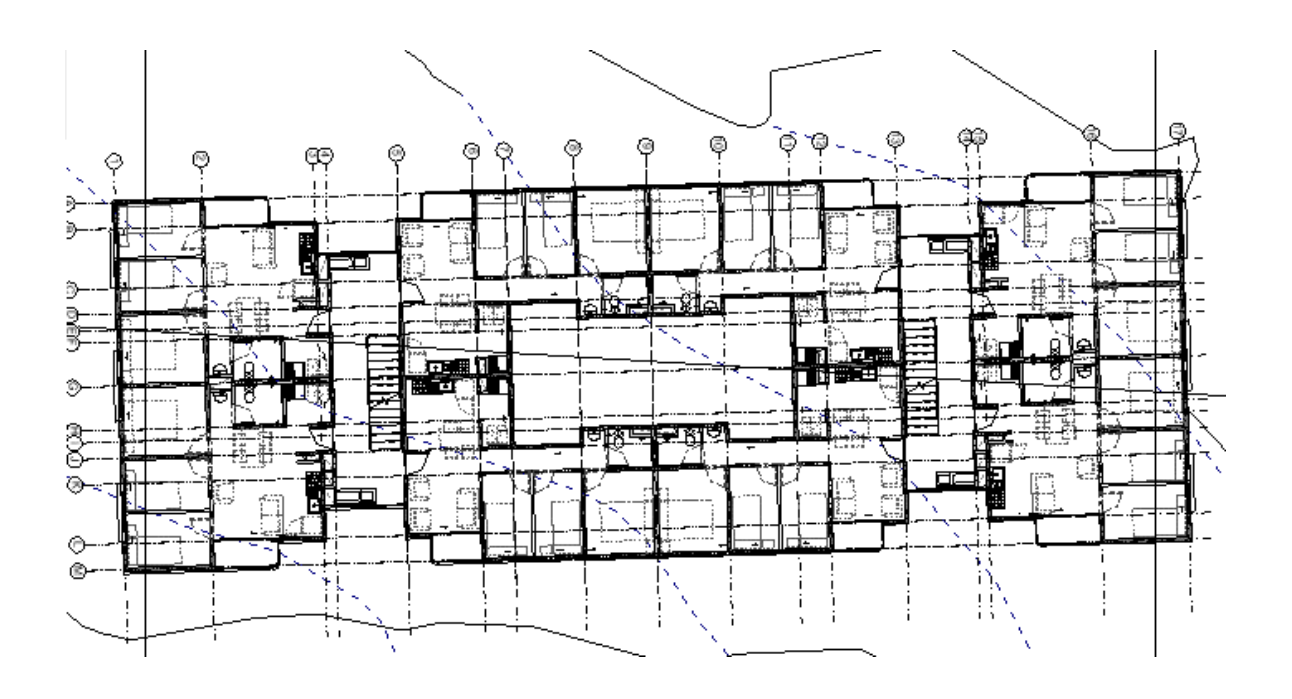


Figura 3. Planta edificios



En las figuras 4 y 5 se ilustran las fachadas del proyecto.

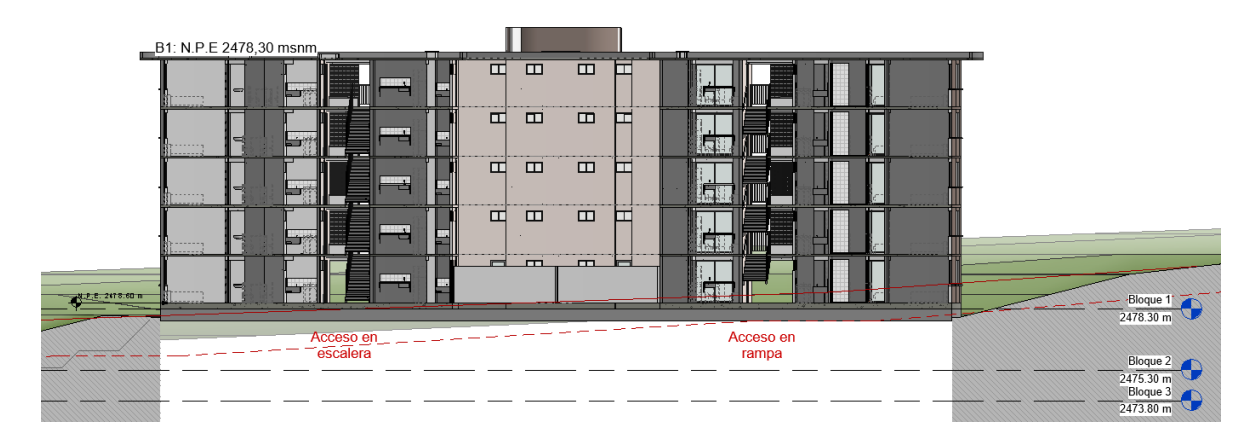


Figura 4. Vista frontal del proyecto



Figura 5. Vista Lateral del proyecto



4 ASPECTOS GEOTÉCNICOS

La asesoría geotécnica de nuestra parte se adelantó con la siguiente secuencia de actividades:

4.1 EXPLORACIÓN DE CAMPO Y ANÁLISIS DE LABORATORIO

Inicialmente se examinó el informe del estudio de suelos del lote que nos fue suministrado por la firma Edyfica y de acuerdo con ello se realizó un reconocimiento geotécnico a nivel macroscópico de todo el predio; en esta etapa se verificaron los accidentes geotécnicos de mayor relevancia para su desarrollo, a saber: relieve, geomorfología, sistemas de drenaje, tipos de suelos y en general condiciones de estabilidad geotécnica predominantes en el lugar.

Sondeos

Verificación, de acuerdo con la localización de las edificaciones y de sus características (número de niveles), de la representatividad de los sondeos exploratorios practicados por la empresa INCIGAM con fecha de diciembre de 2020, (8 de ellos localizados en los sectores donde se implantarán las torres de apartamentos y 3 sondeos en el sector de la plataforma de parqueaderos), sondeos realizados con equipo mecánico hasta profundidad máxima de 15 metros, con ensayos de penetración normal metro a metro y registro de la secuencia estratigráfica encontrada y de las condiciones de agua libre subterránea (presencia ó ausencia del nivel freático).

En la **figura 6** se ilustra de forma esquemática la localización aproximada de los sondeos exploratorios adelantados; su nomenclatura y profundidad se consignan en la tabla # 1.

Perforación	Profundidad (m)
9	15.5
10	15.5
11	15.5
12	15.5
13	15.5
14	15.5
17	15.5
18	15.5

Tabla 1. Nomenclatura y profundidad sondeos



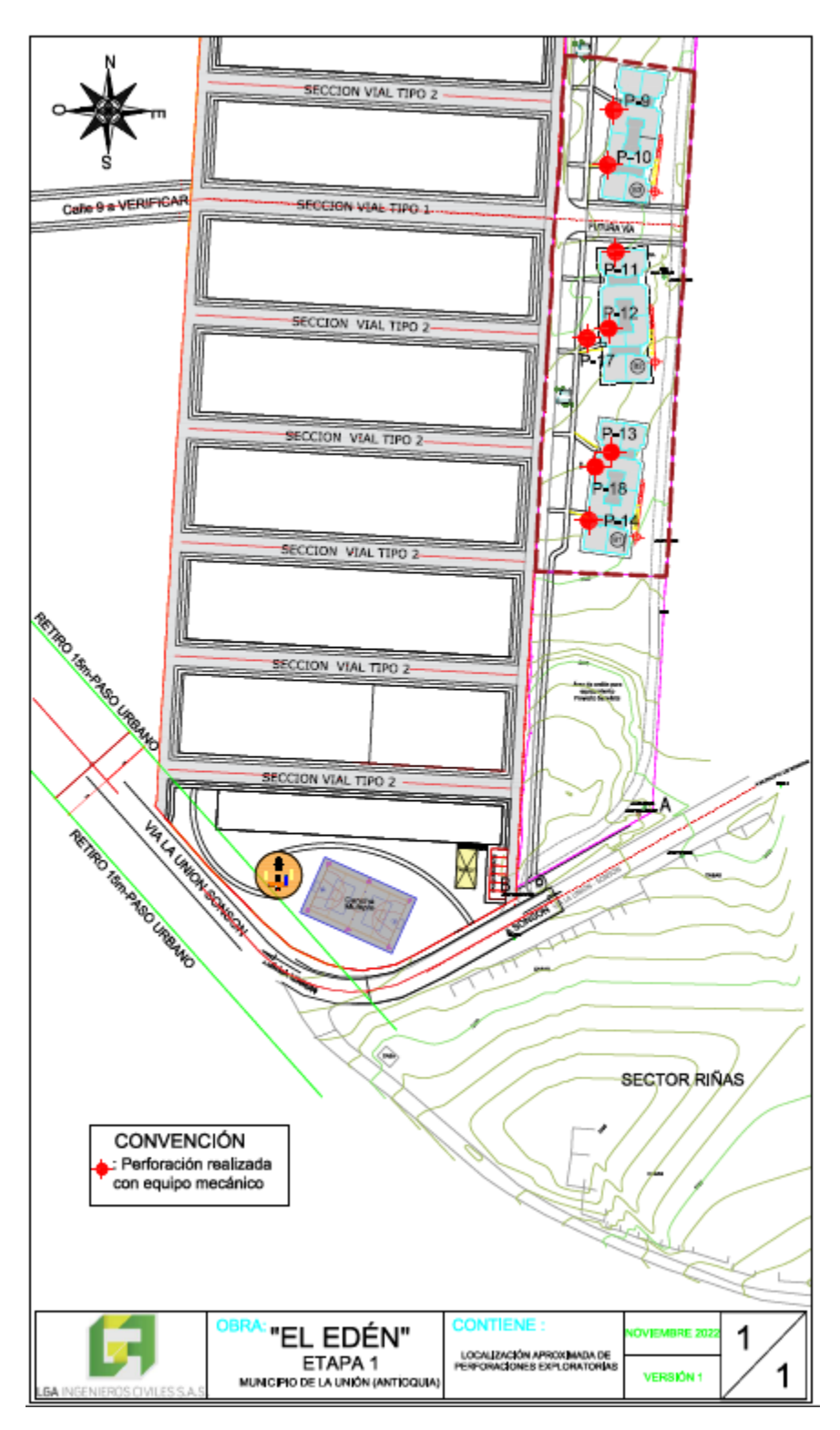


Figura 6. Localización sondeos exploratorios



Análisis e interpretación de resultados

Los resultados correspondientes a las etapas de campo y de laboratorio referidas en los apartes anteriores fueron analizados a la luz de las características específicas del proyecto y de las condiciones particulares identificadas en el subsuelo.

Resultados

En los registros de exploración y de laboratorio (ANEXOS 1 Y 2) y en el cuadro resumen de resultados que se anexan al final de este informe se ilustran en forma esquemática los resultados extraídos del informe de suelos disponible en las etapas descritas en los apartes anteriores; se consigna información específica en relación con los siguientes aspectos:

- Registro estratigráfico del subsuelo;
- Resultados de ensayos SPT;
- Contenido natural de humedad de muestras seleccionadas;
- Registro de la profundidad del nivel freático;
- Límites de consistencia y clasificación de muestras representativas del subsuelo;
- Fracción fina (partículas menores que el tamiz N° 200) para los ejemplares sometidos a ensayos granulométricos; y

PERFORACIÓN	PASA 200	LÍMITE	LÍMITE	ÍNDICE DE	HUMEDAD	CLASIFICACIÓN	COMPRESIÓN	DENSIDAD
		LÍQUIDO	PLÁSTICO	PLASTICIDAD	NATURAL	UNIFICADA	SIMPLE	SECA
#	(%)				(%)	(U.S.C.)	(Kg/cm²)	(Kg/m ³)
P9-M4	80	74	38	36	59	MH		
M5	89	98	49	49	78	MH		
M8	46	37	24	13	32	SC		
M11	47	38	25	13	29	SC		
P10-M4	94	74	39	35	60	MH		
M12	47	37	25	12	33	SC		
M13	49	38	26	12	28	SM		
P11-M4	87	84	41	43	72	MH		
M6	71	61	33	28	57	MH		
M12	46	37	23	14	26	SC		
P12-M8	87	66	37	29	61	MH		
P13-M3	85	116	54	62	103	MH		
M11	49	40	22	18	34	SC		
P14-M4	78	90	50	40	99	MH		
M9	88	94	42	52	82	MH		
M11	49	37	24	13	30	SC		

								
P18-M4					34			
M5	81	67	35	32	50	MH		
M9	65	61	33	28	46	MH		
M15	45	38	25	13	33	SM		

Tabla 2. RESUMEN DE RESULTADOS DE EXPLORACIÓN Y DE LABORATORIO



4.2 CARACTERÍSTICAS GEOTÉCNICAS GENERALES

4.2.1 Aspectos geológicos

Las características geológicas generales de la región y correspondientes al lote en estudio se presentan en detalle en el informe de suelos presentado por la empresa INCIGAM con fecha de diciembre de 2020.

Se resaltan los siguientes aspectos:

4.2.2 Génesis geológico

Con base en la exploración geotécnica se detecta en profundidad la presencia de depósitos aluviales finogranulares de origen lacustre, sobre los cuales reposan depósitos de ceniza volcánica recubiertos por capas orgánicas de espesores variables. La formación lacustre reposa sobre suelos de formación de tipo residual (meteorización "in situ" de la roca originaria).

4.2.3 Geomorfología:

El lote en estudio se ubica sobre una ladera que exhibe pendiente baja, descendente en sentido general Sur-Norte.

4.2.4 Condiciones de estabilidad geotécnica:

En el área donde se desarrollará el proyecto no se identifican procesos morfodinámicos que puedan repercutir en el correcto desarrollo de las obras.

4.2.5 Estratigrafía.

En términos generales, a través de la profundidad total explorada, se detectó al interior del subsuelo la siguiente secuencia estratigráfica:

- El estrato superficial que conforma el subsuelo (primeros 2 metros) corresponden
 principalmente a depósitos de ceniza volcánica de carácter superficial está constituido por
 materiales de naturaleza limo-arcillosa, los cuales ofrecen consistencia muy baja; presentan
 en promedio unos 2 golpes/pie en el ensayo de penetración normal (S.P.T); el material
 característico se clasifica geotécnicamente como MH (Sistema U.S.C); son de plasticidad alta
 y su contenido natural de humedad es alto, en general cercano al límite plástico
 correspondiente al material.
- Bajo los primeros 2 metros del subsuelo se identifica hasta una profundidad de 10 metros un estrato de suelos finogranulares constituidos por materiales de naturaleza limo-arcillosa, se presentan niveles importantes de turbas altamente descompuestas, troncos y raicillas, los cuales ofrecen consistencia excepcionalmente baja; presentan en promedio unos 2 golpes/pie en el ensayo de penetración normal (S.P.T); el material característico se clasifica geotécnicamente como MH (Sistema U.S.C); son de plasticidad alta y su contenido natural de humedad es alto, en general cercano al límite plástico correspondiente al material; se identifican dentro de este estrato limos de color café y beige.



• Subyace al manto de suelo descrito en el párrafo anterior y se prolonga hasta la profundidad total explorada (15 metros) un estrato de suelo constituido por materiales de naturaleza Areno-arcillosa (Horizonte IC), los cuales ofrecen consistencia media; presentan en promedio unos 25 golpes/pie en el ensayo de penetración normal (S.P.T); el material característico se clasifica geotécnicamente como SC (Sistema U.S.C); son de plasticidad alta y su contenido natural de humedad es medio, cercano al límite plástico correspondiente al material; se identifican dentro de este estrato de arenas de color gris verdoso.

4.2.6 Nivel Freático.

Durante la época en que se realizó la exploración de campo (octubre-noviembre de 2020), se detectó el nivel freático en los sondeos realizados, como se muestra en la siguiente tabla. Es posible que estas profundidades difieran con el tiempo, debido a cambios en las condiciones climáticas.

Sondeo	Nivel freático (m)	Sondeo	Nivel freático (m)	Sondeo	Nivel freático (m)
P1	0.10	P8	1.45	P15	1.20
P2	0.10	P9	No se encontró	P16	1.10
Р3	0.10	P10	2.18	P17	0.08
P4	0.08	P11	1.06	P18	1.32
P5	0.05	P12	0.10	P19	1.32
P6	1.10	P13	0.15	P20	0.08
P7	1.90	P14	0.10	P21	0.08

Tabla 3. Registros de nivel freático

A continuación, se ilustra de forma gráfica la estratigrafía típica del terreno.

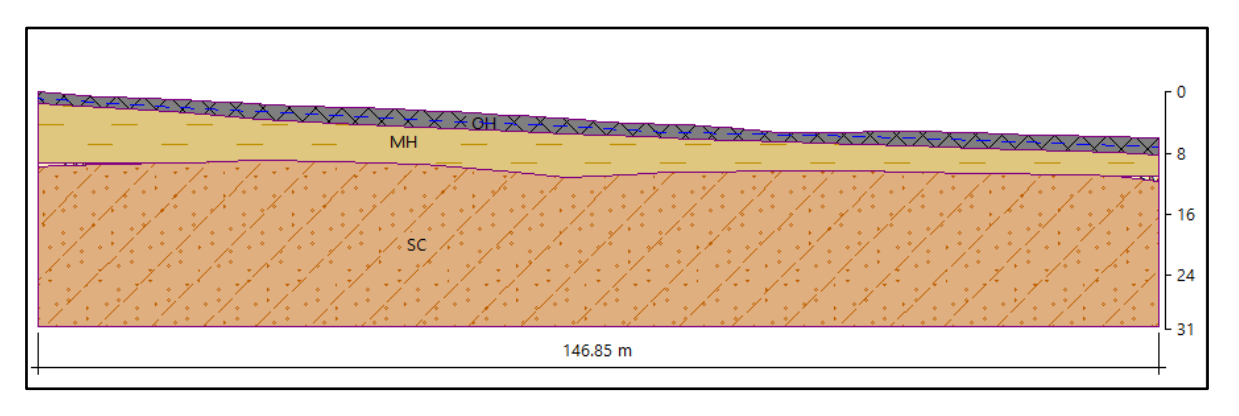


Figura 7. Perfil estratigráfico

PAVIMENTOS

4.3 Análisis potencial de licuación

Se realiza el análisis de potencial de licuación de los suelos con el fin de descartar este fenómeno que pueda comprometer el perfil del suelo de acuerdo con los criterios establecidos en la Norma sismo-resistente vigente a la fecha.

Con el fin de evaluar de una manera cuantitativa la susceptibilidad del material se modela la acción de un sismo usando el software LiquEc, considerando un sismo de magnitud 6.0 en la escala de Richter, junto con el perfil estratigráfico de los sondeos representativos, que corresponden a los sondeos P9, P11, P14 y P18.

Seed e Idriss propusieron que la relación de esfuerzo cíclico para un suelo a una profundidad determinada durante un terremoto puede ser evaluada; un suelo sufrirá licuación si la razón de tensión tangencial cíclica CSR ocasionada por un sismo es mayor que la resistencia tangencial de un suelo. Es decir:

$$CSR = \frac{r_{om}}{\sigma'_{v}} = 0.65 \frac{\sigma_{v}}{\sigma'_{v}} \frac{a_{max}}{g} r_{d}$$

Donde:

T_{cm}= esfuerzo cortante cíclico medio

σ_v= tensión total

σ´, = tensión efectiva

amax = aceleración máxima horizontal

g = aceleración de la gravedad

r_{d=} factor de reducción con la profundidad (r_d=1-0,015z, siendo z la profundidad).

CRR: Valor de resistencia a la licuefacción (Cyclic Resistance Ratio). Se trata de un número adimensional que trata de medir la resistencia a la licuación en base al contenido en finos y valor del SPT corregido por la sobrecarga y efecto de la energía de ensayo.

		Porcentaje de finos	
(N) ₆₀	≤ 5%	15%	30%
5	0,06	0,10	0,13
10	0,11	0.16	0,18
15	0,16	0,23	0,26
20	0,22	0,29	0,40
25	0,29	>0,4	>0,5
30	>0.4		

Tabla 4. Valores CRR

Los valores mostrados en la tabla anterior están indicados para terremotos de magnitud momento Mw=7,5. Para otros sismos, el valor del CRR debe corregirse por los siguientes valores de corrección:



Magnitud M _w	Factor de corrección		
5,5	2,20 a 2,80		
6	1,76 a 2,10		
6,5	1,44 a 1,60		
7	1,19 a 1,25		
7,5	1		
8	0,84		
8,5	0,72		

Tabla 5. Factor de corrección CRR

El factor de seguridad frente a la licuación se puede verificar según la siguiente expresión:

$$FS_{liq} = \frac{CRR}{CSR}$$

FS_{liq}: Coeficiente de seguridad, cuando el valor es próximo a la unidad 0,9 a 1,1 las probabilidades de licuación son altas.

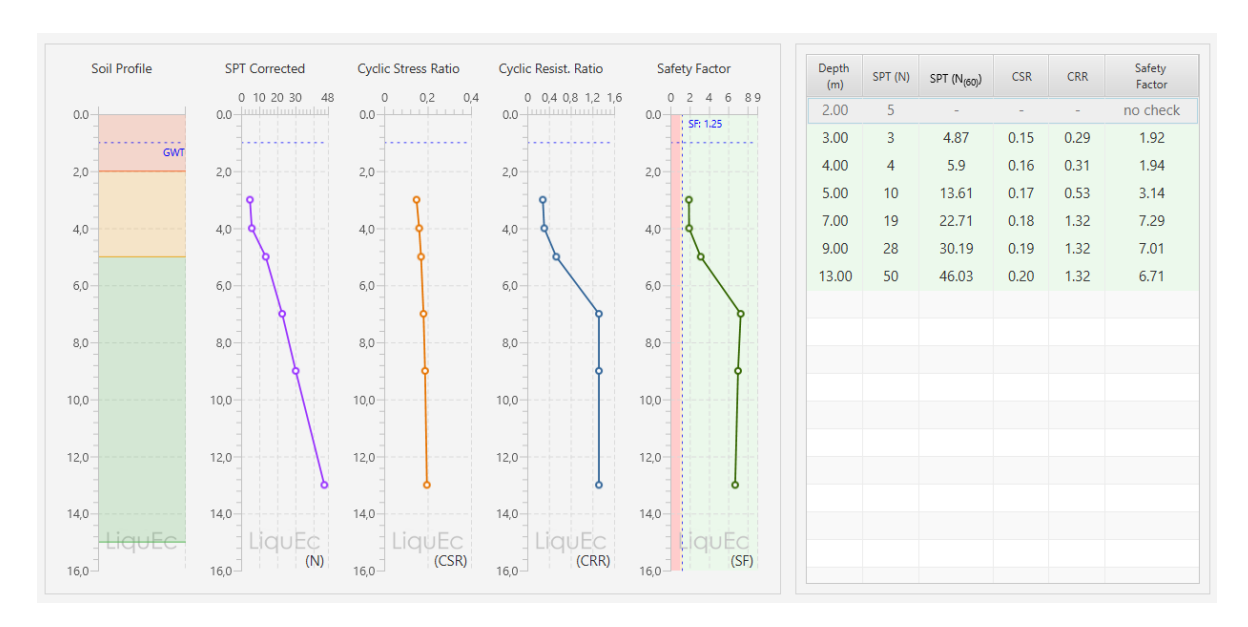


Figura 8. Análisis licuación perforación 9





Figura 9. Análisis licuación perforación 11

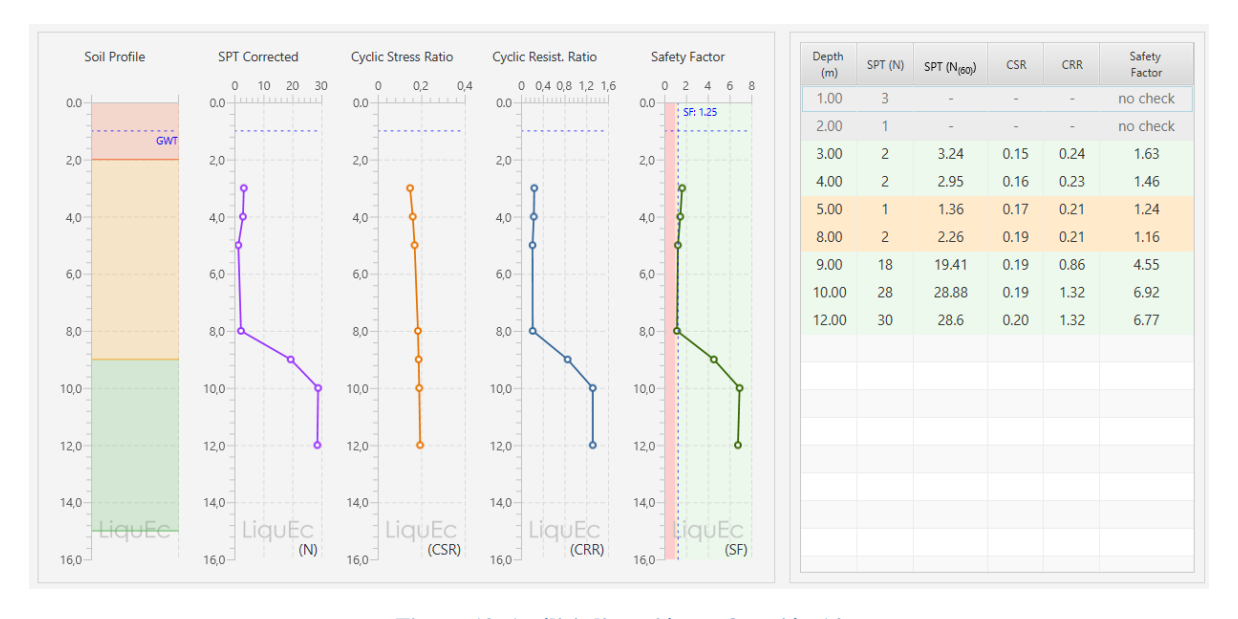


Figura 10. Análisis licuación perforación 14

PAVIMENTOS

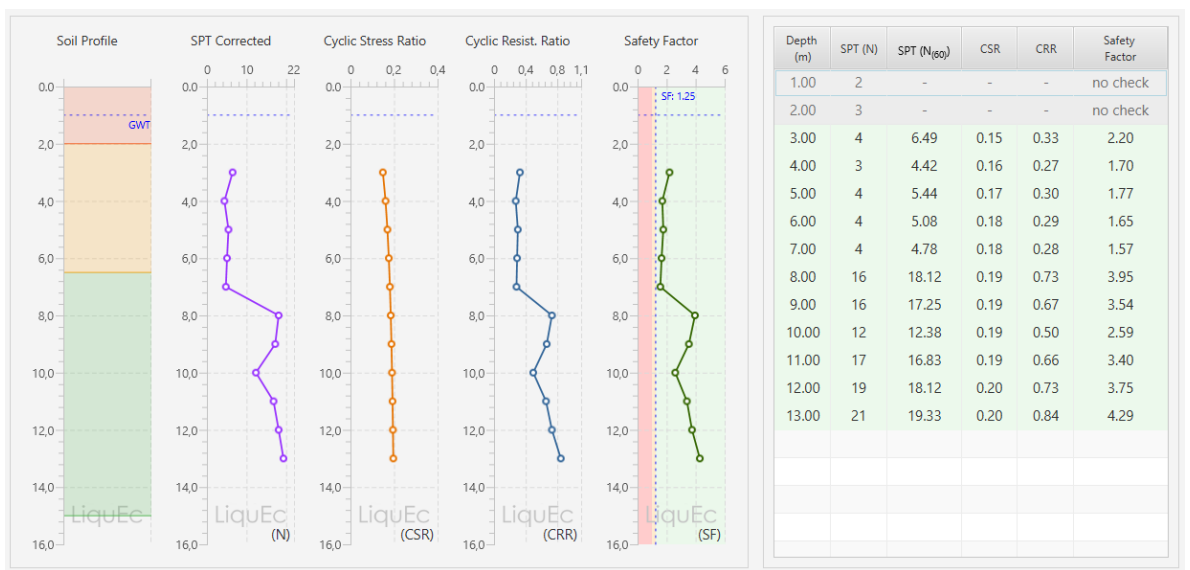


Figura 11. Análisis licuación perforación 18

En todas las perforaciones se obtiene factores de seguridad aceptables al fenómeno de licuación; la perforación 14 presenta factores de seguridad cercanos al límite (1.1) entre 5 y 8m, pero ningún valor menor que este, por lo cual se considera que no se tendrán problemas considerables por efectos de licuación.



5 ANÁLISIS DE CIMENTACIONES

5.1 SISTEMA DE CIMENTACIÓN

Las torres de apartamentos por construir estarán conformadas por 5 plantas y estarán soportadas en muros de concreto reforzado los cuales en condición de servicio transmitirán a nivel de cimentación una carga total de la edificación de **2900 ton** (información suministrada por el diseñador estructural).

Por solicitud de la empresa Edyfica se analizaron varias alternativas de cimentación y dentro de ellas para las características geotécnicas encontradas en el subsuelo se encontró como solución adecuada un sistema mixto compuesto por una losa de cimentación complementada por pilotes hincados. Para el apoyo de la losa se propone realizar un remplazo estructural de 2m de espesor en un material seleccionado (sub-base no procesada), para mejorar las propiedades del suelo de apoyo.

El estrato de suelo encontrado hasta los primeros 8m (depósito aluvial fino granular) presenta propiedades mecánicas y una capacidad portante muy desfavorable que presentarán deformaciones considerables ante la inducción de las cargas del edificio; por tal motivo se recomienda el sistema mixto para reducir la presión de contacto que trasmitirá la losa de cimentación y que los pilotes en cierta medida controlen los asentamientos posibles.

5.2 PROPIEDADES MECÁNICAS DEL SUBSUELO

Los parámetros de ángulo de fricción (φ) y módulo de elasticidad de los materiales se obtuvieron a través de correlación del SPT corregido (N60) según las figuras 12 y 13 y se resumen en la tabla # 6.

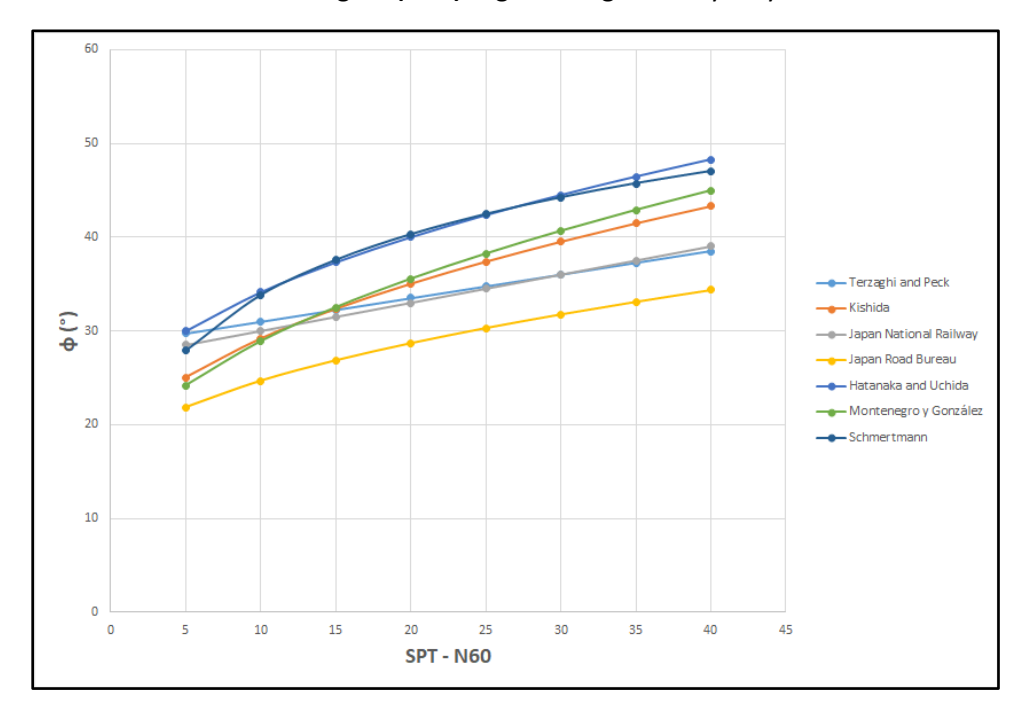


Figura 12. Correlación SPT - ángulo de fricción

PAVIMENTOS

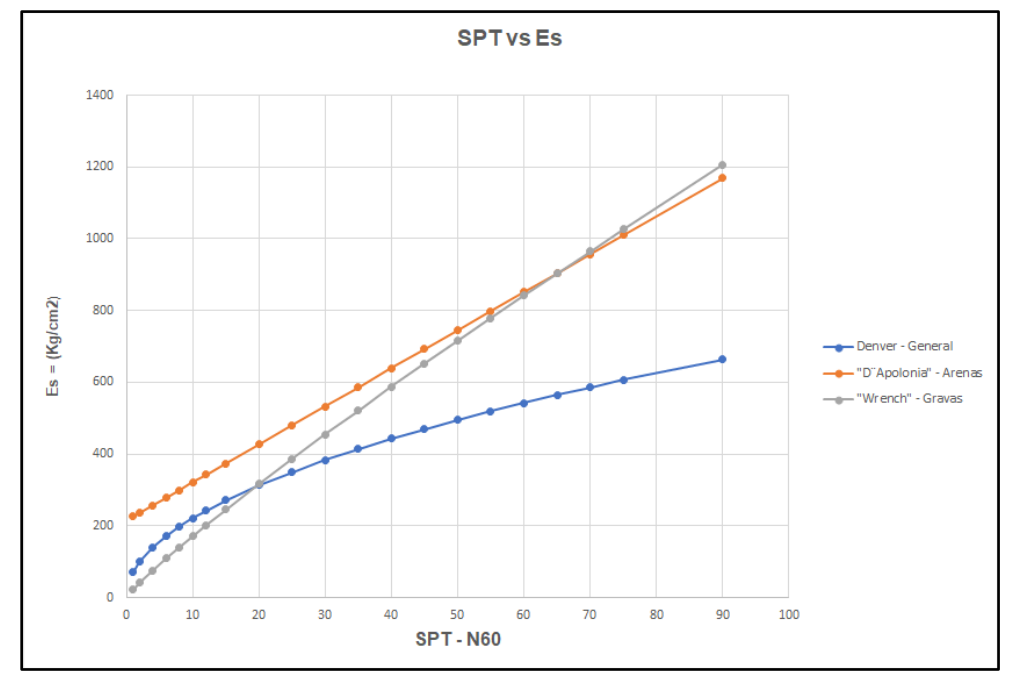


Figura 13. Correlación SPT - Módulo de elasticidad

De acuerdo con lo anterior para cada uno de los estratos de suelos descritos se asocian los siguientes parámetros geotécnicos que controlan su resistencia mecánica (parámetros obtenidos del estudio de suelos, ensayos de laboratorio y correlaciones):

Profundidad Terreno natural	Estrato	Peso Un. (kn/m³)	SPT (N60)	Angulo de Fricción (°)	Cohesión (kPa)	Módulo Elasticidad (Mpa)
0 a 2m	Remplazo Estructural	20	-	41	0	100
2 a 8m	МН	18	-	0	28	2.75
a partir de 9m	sc	18	25	32	0	30

Tabla 6. Parámetros geomecánicos del suelo



5.3 CÁLCULO DE LA CAPACIDAD PORTANTE DE LOS PILOTES

La estimación de la resistencia por fricción en el estrato de arcilla se realiza utilizando el $m\'etodo~\lambda$

Método λ

Este método, propuesto por Vijayvergiya y Focht (1972), se basa en la suposición de que el desplazamiento del suelo ocasionado por el hincado del pilote da por resultado una presión lateral pasiva a cualquier profundidad y que la resistencia superficial unitaria promedio es

$$f_{\text{prom}} = \lambda (\overline{\sigma}'_o + 2c_u) \tag{11.51}$$

donde

 $\overline{\sigma}'_{a}$ = esfuerzo vertical efectivo medio para toda la longitud de empotramiento

 $c_{\scriptscriptstyle \it u}=$ resistencia cortante no drenada media ($\phi=0)$

Longitud de empotramiento, <i>L</i> (m)	λ
0	0.5
5	0.336
10	0.245
15	0.200
20	0.173
25	0.150
30	0.136
35	0.132
40	0.127
50	0.118
60	0.113
70	0.110
80	0.110
90	0.110

Para el desarrollo de esta metodología se tiene los siguientes parámetros del suelo entre 0 y 10m de profundidad:

$$Cu = 28kPa - Resistencia al corte no drenada$$

$$\sigma'_0 = 60 \text{ KPa} - \text{Esfuerzo efectivo medio}$$

Siguiendo el procedimiento descrito anteriormente se obtiene una resistencia **última por fricción** en el estrato arcilloso de:

$$Q_{s1} = 350 \ kN$$

ASESORÍA GEOTÉCNICA



La estimación de la resistencia por fricción en el estrato arenoso se realiza utilizando la siguiente expresión:

$$f=K\sigma_o'\!\tan\delta'$$

= coeficiente efectivo de presión de tierra

= esfuerzo vertical efectivo a la profundidad en consideración

= ángulo de fricción suelo-pilote

Tipo de pilote	к
Perforado o hincado con ayuda de chorro de agua	$\approx K_o = 1 - \text{sen } \phi'$
Hincado de bajo desplazamiento	$\approx K_o = 1 - \text{sen } \phi' \text{ a } 1.4K_o = 1.4(1 - \text{sen } \phi)$
Hincado de alto desplazamiento	$\approx K_o = 1 - \operatorname{sen} \phi' \text{ a } 1.8K_o = 1.8(1 - \operatorname{sen}\phi)$

Para el desarrollo de esta metodología se tiene los siguientes parámetros del suelo a partir de 10m de profundidad:

$$\varphi=32^{\circ}-$$
 Angulo de fricción del suelo $\sigma'_0=112$ KPa $-$ Esfuerzo efectivo medio

Siguiendo el procedimiento descrito anteriormente se obtiene una resistencia última por fricción en el estrato arenoso de:

$$Q_{s2} = 77 \ kN$$

Se realiza el cálculo de la capacidad portante por punta del sistema de pilotes por el método de Meyerhof. Se toma como referencia las cargas suministradas por el ingeniero calculista.

Según Meyerhof la capacidad de carga por punta de un pilote se puede estimar de la siguiente forma:

$$Q_p = A_p q_p = A_p q' N_q^*$$



donde

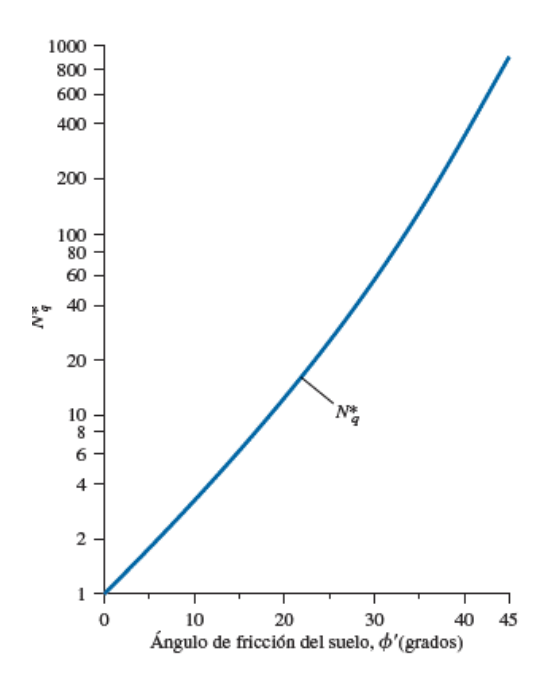
 A_p = área de la punta del pilote

 $c^{'}=$ cohesión del suelo que soporta la punta del pilote

q_n = resistencia unitaria de punta

q' = esfuerzo vertical efectivo al nivel de la punta del pilote

 $N_c^*, N_q^* =$ factores de capacidad de carga



Para el desarrollo de esta metodología se tiene los siguientes parámetros del suelo de apoyo a 13m de profundidad:

$$\varphi = 32^{\circ} - Angulo de fricción del suelo$$

$$N^*q = 81 - Factor de capacidad de carga$$

$$q' = 88 \text{ KPa} - \text{Esfuerzo efectivo a } 13m$$

Siguiendo el procedimiento descrito anteriormente se obtiene una capacidad ultima por punta de:

$$q_p = 895 \, kPa$$



La resistencia de punta límite es

$$q_l = 0.5 \ p_a N_q^* \tan \phi'$$

donde

 p_a = presión atmosférica (= 100 kN/m²)

 ϕ' = ángulo de fricción efectivo del suelo del estrato de apoyo

$$q_t = 2530 \, kPa$$

Para un factor de seguridad de 3 se obtiene una capacidad admisible de:

$$q_{adm} = 843kPa$$

$$Q_p = q_{adm} . A_p$$

 $A_p = 0.125 \ m^2 - \text{ Área de la punta de un pilote de 40cm de diametro}$

$$Q_p = 100kN$$

Sumando la capacidad por fricción y la capacidad por punta se obtiene el siguiente resultado:

$$Q = \frac{Q_{s1} + Q_{s2} + Q_p}{FS} \qquad Q = \frac{350kN + 77kN + 100kN}{2}$$

$$Q = 263kN$$

La carga máxima de servicio por unidad de pilote será de 250 kN.

PAVIMENTOS

5.4 CÁLCULO DE LA CAPACIDAD PORTANTE DE LA LOSA

Como se menciona con anterioridad el diseño de las fundaciones estará gobernado por los asentamientos que se van a generar en el estrato de suelo encontrado hasta los primeros 8m (depósito aluvial fino granular). Por tal motivo se realiza una modelación para verificar la magnitud de los asentamientos de la losa de fundación a partir de una presión de contacto de 24 kPa.

5.5 CÁLCULO DE ASENTAMIENTOS

5.5.1 Asentamiento Losa de cimentación

ASENTAMIENTO ELÁSTICO

Los asentamientos primarios están dados por la deformación elástica líneal. La relación tensióndeformación lineal sigue la ley de Hook:

$$\varepsilon = \frac{\Delta \sigma_{ef}}{E}$$

Donde:	ε	-	Deformación inducida por la tensión efectiva en la capa del suelo
	$\Delta\sigma_{ef}$	-	Cambio inducido por la tensión efectiva en la capa del suelo
	E	-	Módulo Young en la capa del suelo
	V	-	Coeficiente de Poisson

El asentamiento de la capa de suelo s, se determina multiplicando la deformación de la capa de suelo ϵ por el espesor de la capa (altura) Ho:

$$s = \varepsilon . H_o$$

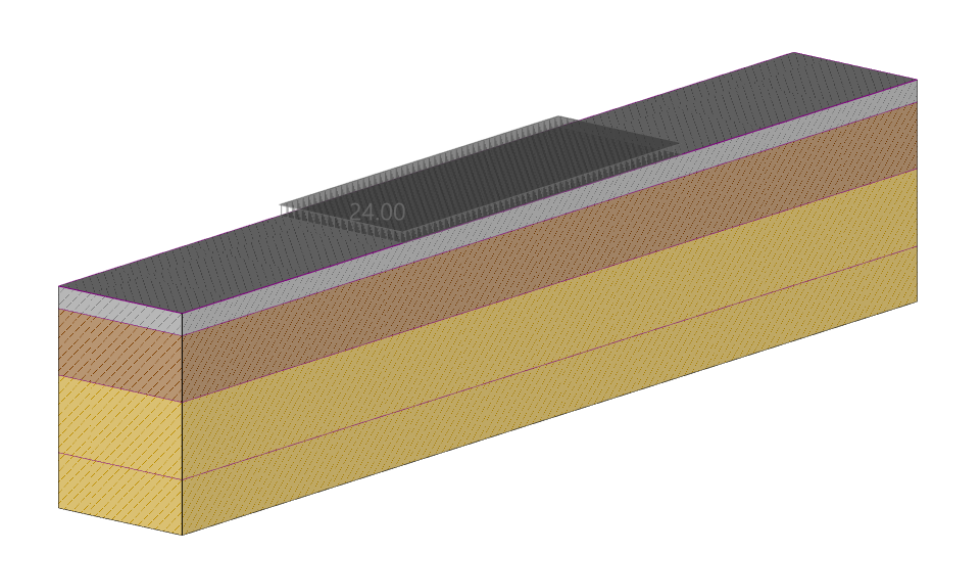
Donde:	ε	-	Deformación de la capa del suelo
	Ho	-	Espesor de la capa del suelo

En el caso de subsuelos en capas, se obtiene el asentamiento total sumando el asentamiento de cada capa individual:



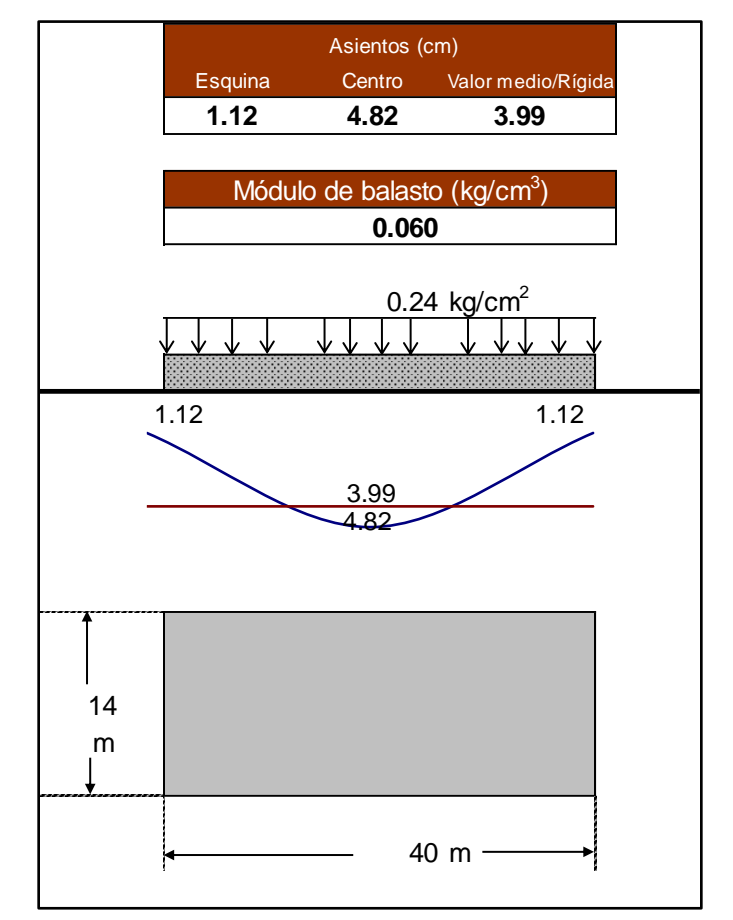
$$s = \sum s_i = \sum \varepsilon_i . H_{oi}$$

Donde:	S	-	Asiento en las capas del subsuelo
	$arepsilon_i$	-	Deformación de la capa del suelo <i>i</i> th
	H _{oi}	-	Espesor de la capa del suelo i th



Se realiza la modelación de la losa de cimentación y se obtienen los asentamientos elásticos a corto plazo (presión de contacto resultante de 24 kPa):

Carga ne	ta, q:	0.24	kg/cm ²	•		
Lado me	nor, b:	14.00	m			
Lado ma	yor, a:	40.00	m	-		
				Centro	Esquina	
Nivel	Z _{final} (m)	E (kg/cm²)	Coef. Poisson	Asiento	s (cm)	∆q (kg/cm²
ı	2.00	1000	0.25	0.03	0.01	0.22
П	10.00	30	0.40	3.77	0.85	0.15
Ш	15.00	300	0.30	0.21	0.07	0.12
IV						
V						
VI						
VII						
VIII						
IX						
Х						
				4.01	0.93	



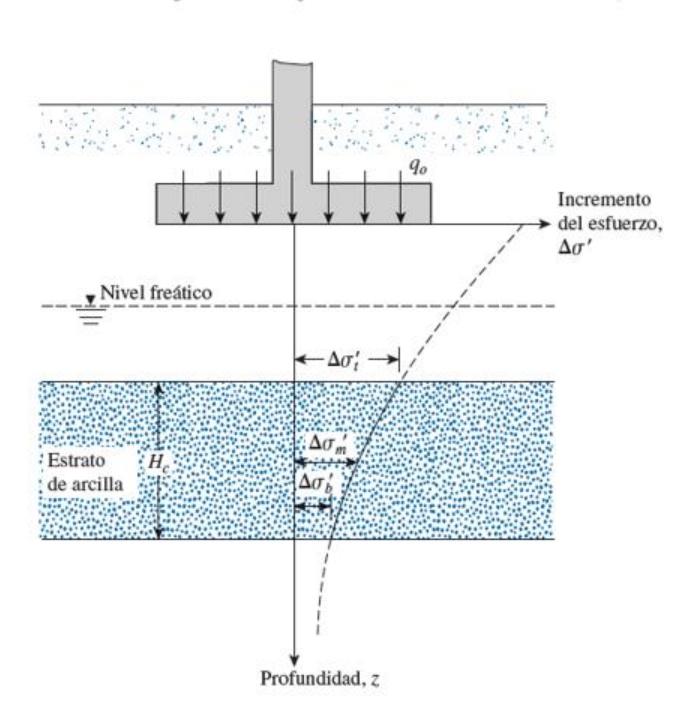
Los asentamientos elásticos de la losa esperados a corto plazo son de unos 5cm.



ASENTAMIENTO POR CONSOLIDACIÓN

El asentamiento por consolidación ocurre al paso del tiempo en suelos finogranulares saturados sometidos a una carga incrementada ocasionada por la construcción de una cimentación. Este se describe como:

$$S_{c(p)} = \frac{C_c H_c}{1 + e_o} \log \frac{\sigma_o' + \Delta \sigma_{\text{prom}}'}{\sigma_o'}$$



donde

 $\sigma_o'=$ presión efectiva promedio sobre el estrato de arcilla antes de la construcción de la cimentación

 $\Delta\sigma'_{\rm prom}=$ incremento promedio en la presión efectiva sobre el estrato de arcilla causado por la construcción de la cimentación

 $\sigma_c'=$ presión de preconsolidación

 e_a = relación de vacíos inicial del estrato de arcilla

 C_{c}^{c} = índice de compresión C_{c}^{c} = índice de recompresión

 H_c = espesor del estrato de arcilla

erromente del esfuerza efectivo sebre el estrata availlese (Agr)

El incremento del esfuerzo efectivo sobre el estrato arcilloso ($\Delta \sigma'$) es tan pequeño que los asentamientos por consolidación son irrelevantes.

El asentamiento total estimado es entonces de aproximadamente 5cm.



5.6 DEFINICIÓN DEL SISTEMA DE CIMENTACIÓN

De acuerdo con lo anterior se presentan las siguientes recomendaciones y criterios geotécnicos para el sistema de cimentación mixto compuesto por una placa de cimentación apoyada en un reemplazo estructural y pilotes hincados, de diámetro 40 cm en concreto reforzado.

La distribución de cargas debe ser de:

PLACA = 42%

PILOTES = 58%

5.6.1 Pilotes

CARACTERÍSTICAS

Pilotes hincados de concreto reforzado, de sección circular de 40cm de diámetro, de fuste continuo.

PROFUNDIDAD DE APOYO:

Los pilotes se apoyarán a no menos de **13 metros** bajo el nivel de desplante de la losa de cimentación.

PRESIÓN DE CONTACTO ADMISIBLE SOBRE EL SUELO DE APOYO:

Los pilotes se diseñarán para transmitir al subsuelo sus solicitaciones verticales mediante mecanismo de "punta", y fricción a través del fuste. Para su diseño aplica un valor de carga máxima de servicio por pilote de **250 kN (25 ton).** Para condiciones sísmicas se puede considerar hasta un 25% de incremento.

SUELO DE APOYO:

Arena limosa ó Arena arcillosa de consistencia media - alta.

5.6.2 Losa de cimentación

CARACTERÍSTICAS

Losa de cimentación de concreto reforzado, apoyada sobre un remplazo estructural en suelo seleccionado (sub-base no procesada).

PROFUNDIDAD DE APOYO:

La losa se apoyará en el plano superior del remplazo.

PRESIÓN DE CONTACTO ADMISIBLE SOBRE EL SUELO DE APOYO:

La losa se diseñará para transmitir al remplazo estructural una presión de contacto máxima de servicio de **24 kPa**.

Módulo de Westergaard = Kv = 3,0 Kg/cm3



SUELO DE APOYO:

Remplazo estructural de **2m de espesor** en suelo seleccionado (sub-base no procesada), compactado con referencia de un 90% del ensayo de Proctor modificado. El remplazo se debe apoyar sobre una capa de geotextil tejido T-2400.

5.7 PROCESO CONSTRUCTIVO

Una vez conformado el remplazo estructural, para garantizar el funcionamiento adecuado de la solución de cimentación propuesta se requiere implementar un proceso constructivo en el cual en una primera etapa se realiza la construcción del sistema de pilotes y vigas de amarre. Posteriormente se realiza la construcción de la losa de cimentación y por último se realiza la conformación de la estructura.

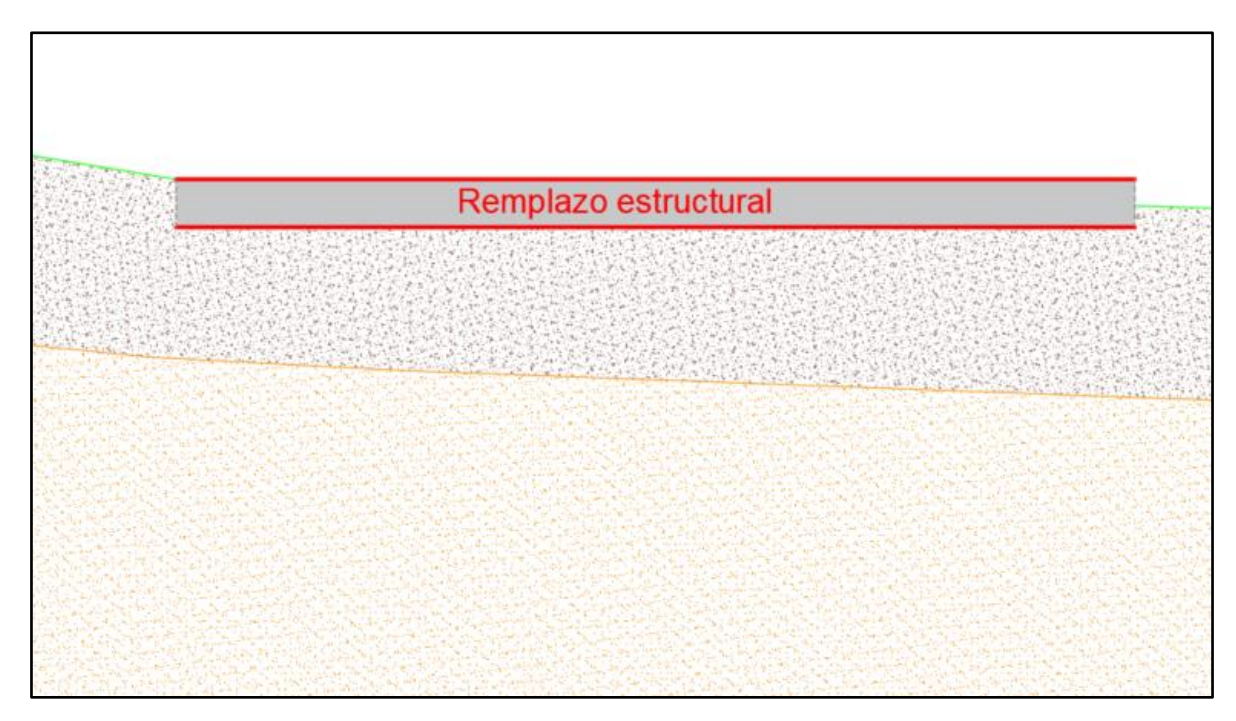


Figura 14. Etapa 1 - colocación del remplazo estructural

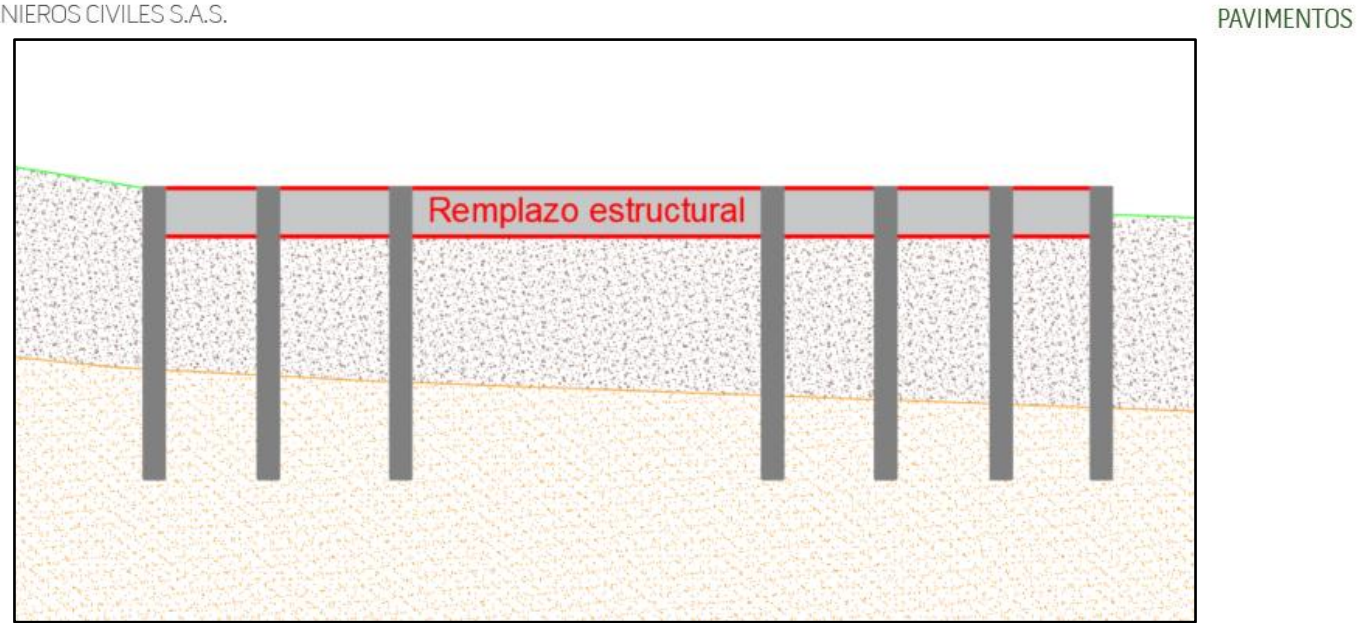


Figura 15. Etapa 2 - construcción de pilotes y losa

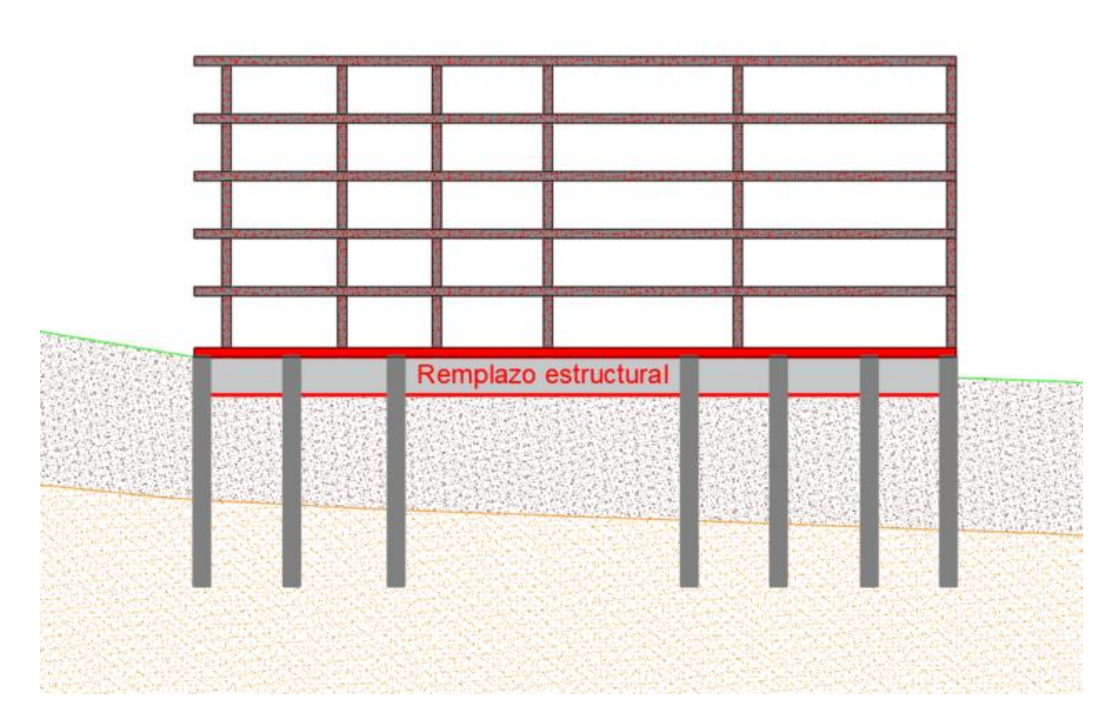


Figura 16. Conformación de la estructura



5.8 PARÁMETROS PARA DISEÑO SISMO-RESISTENTE

Debido a que en el lote existe la presencia de turbas orgánicas superiores a los 3.0 m de espesor, por lo que en condiciones ordinarias el perfil de suelo debería corresponder a tipo F, sin embargo, para estructuras de hasta 5 niveles, la NSR 10 permite definir los coeficientes de amplificación a usar, sin necesidad de un estudio particular en el sitio. Para la definición de los coeficientes Fa y Fv a usar se parte en la definición del tipo de perfil de suelo con base en los 30 m superiores del mismo y considerando los valores de velocidad de onda cortante, obtenidos a partir de la ejecución de la línea sísmica.

El perfil de velocidad de onda de corte en profundidad en el punto medio de la línea es presentado por medio del **perfil** presentado la **Figura 19.**

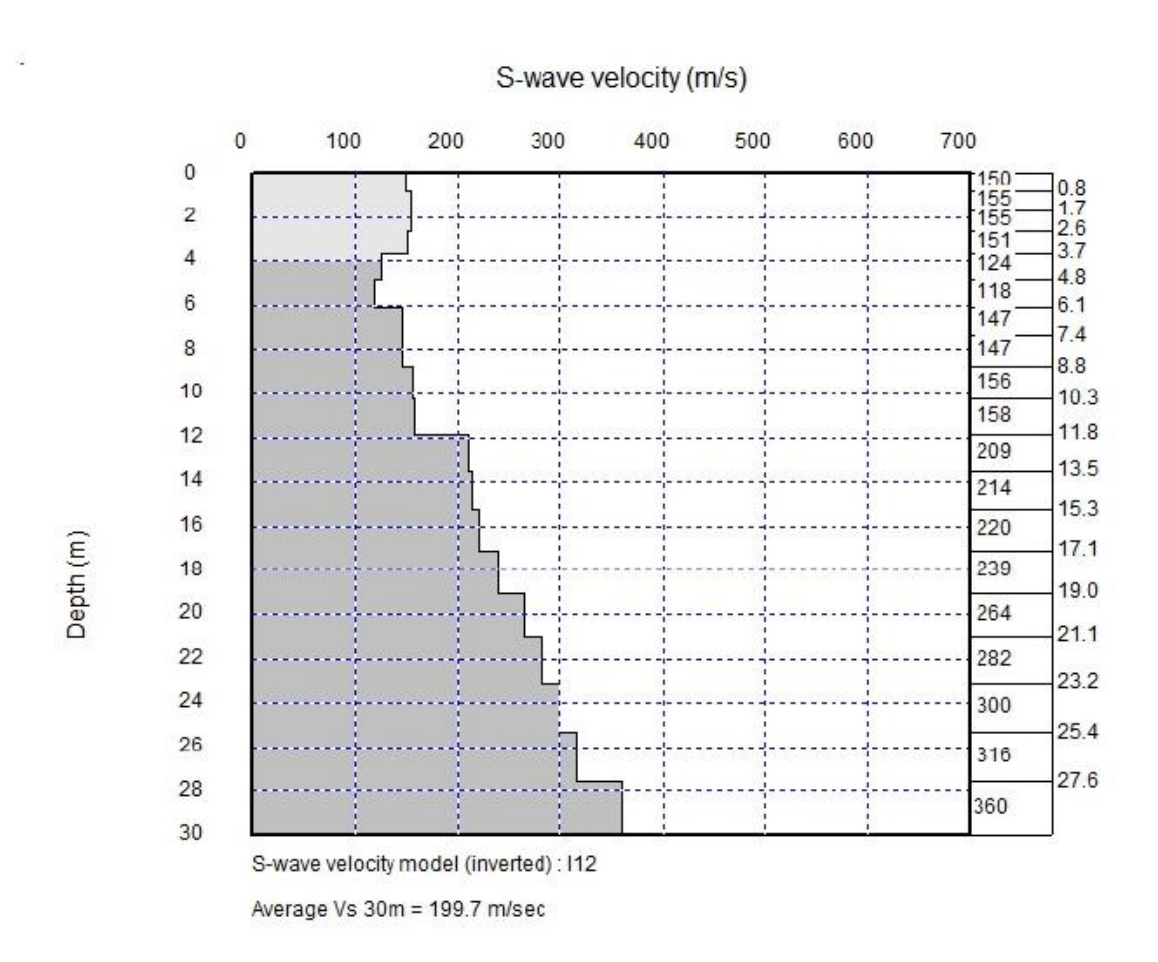
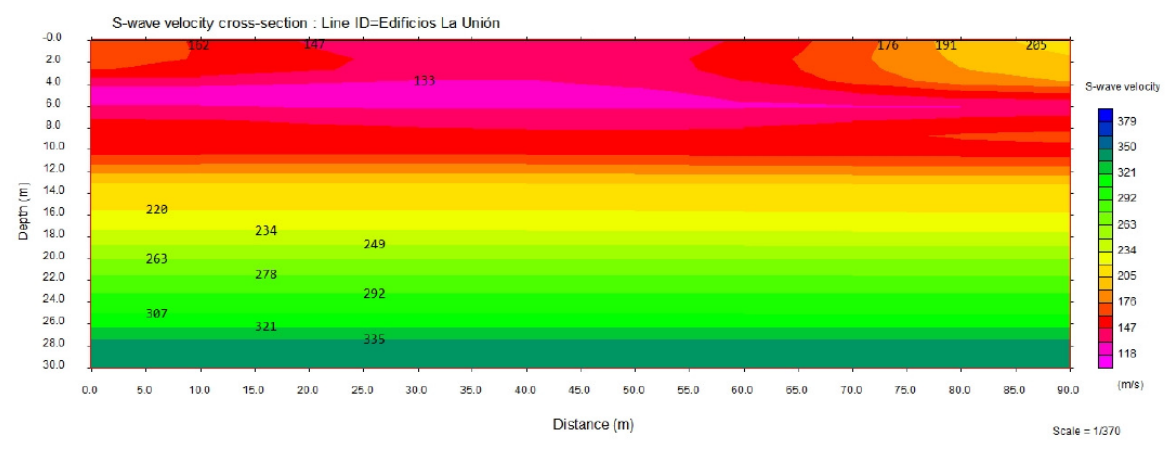


Figura 17. Perfil de velocidades



5.8.1 Perfil del subsuelo

Para el diseño Sismo-resistente de la estructura se tendrá en cuenta un perfil de sub-suelo "E", de acuerdo con los criterios establecidos en la Norma sismo-resistente vigente a la fecha.

Tipo de Perfil	Descripción	Definición				
Α	Perfil de roca competente	Vs≥1500 m/s				
В	Perfil de roca de rigidez media	1500 m/s>Vs ≥760m/s				
	Perfiles de suelos muy densos o roca blanda, que cumplan con el criterio de velocidad de la onda cortante	760 m/s>Vs ≥360m/s				
С	Perfiles de suelos muy densos o roca blanca, que cumplan con cualquiera de los 2 criterios	N ≥50 o Su ≥ 100 Kpa				
	Perfiles de suelos rígidos que cumplan con el criterio de velocidad de onda de cortante, o	360 m/s>Vs ≥180m/s				
D	perfiles de suelos rígidos que cumplan con cualquiera de las condiciones	50>N ≥15 o 100>Su ≥ 50 Kpa				
E	Perfil que cumpla el criterio de velocidad de la onda cortante, o	180 m/s > Vs				
	Perfil que contiene un espesor total H mayor de 3m de arcillas blandas	IP>20 W ≥40% 50 Kpa >Su				
	Los perfiles de suelo tipo F requieren una evaluación realizada explicitamente en el sitio por un ingeniero geotécnicsta de acuerdo con el procedimiento A.2.10. Se contemplan las siguientes subclases:					
F	F1- Suelos susceptibles a la falla o colapso causado por la excitación sísmica, tales como: Suelo licuables, arcillas sensitivas, suelos dispersivos o débilmente cementados, etc.					
•	F2 - Turba y arcillas orgánicas y muy orgánicas (H> 3m para turba o arcillas orgánicas y muy orgánicas)					
	F3-Arcillas de muy alta plasticidad(H> 7,5 m con Índice de	Plasticidad IP>75)				
	F4 - Perfiles de gran espesor de arcillas de rigidez mediana a blanda (H>36 m.)					

Figura 18. Clasificación de los perfiles de suelo

De acuerdo con lo estipulado en el capítulo A.2.4.4. De la NSR-10, adoptando el criterio de la media ponderada de la velocidad promedio de onda de corte para los primeros 30 metros "Vs30", se obtienen las velocidades promedio de onda de corte de 199.7 m/s, lo que lo califica como perfil tipo D, esta clasificación debe ser evaluada ante la presencia de estratos blandos y compresibles con materia orgánica y arcillas de espesores importantes. Debido a que se presentan capas de arcilla blanda altamente plástica y de baja resistencia, (la cuales presentan espesores variables en el sitio de estudio, pero generalmente superiores a 3 m), se considera que el perfil de suelo debe

PAVIMENTOS

corresponder a un tipo E, ya que estos materiales blandos son más susceptibles a amplificar la onda sísmica.

5.8.2 Módulo de reacción lateral

El módulo de reacción horizontal (Kh) aplicable al análisis sismo-resistente se determina para cada estrato a partir de la fórmula propuesta por Vesic, la cual para la mayoría de los casos prácticos corresponde con: (Joseph E. Bowles, Foundation Análiysis and Desing – Braja M Das, Principios de Ingeniería de cimentaciones):

$$K_S = \frac{E_S}{B(1-u^2)}$$

Donde:

Es: Módulo elástico del suelo (Kg/cm2)

• B : Diámetro de la pila de cimentación (cm)

• u : Módulo de poisson del suelo que rodea la pila

El valor de Es se determina en función de los valores promedios de SPT, para lo cual existen gran cantidad de correlaciones: en este caso se utiliza la ecuación propuesta por Denver (1982) con representación gráfica en la figura 13 de este documento

Estrato 1 (0-2 m)

 $Es = 1000 \text{ Kg/cm}^2$

 $Kh = 9.0 \text{ kg/cm}^3$

Estrato 2 (2-8 m)

 $Es = 27,5 \text{ Kg/cm}^2$

 $Kh = 0.5 \text{ kg/cm}^3$

Estrato 3 (8-12 m)

 $Es = 300 \text{ Kg/cm}^2$

 $Kh = 2.6 \text{ kg/cm}^3$

Los valores anteriores aplican como constantes a través del tramo de fuste especificado en cada caso.



5.9 SISTEMAS DE DRENAJE.

Dada la presencia superficial del nivel freático se requiere construir un sistema denso de filtros que controlen la ascensión de dicho nivel creando sub-presiones en el sistema de cimentación; se recomienda entonces perimetralmente a la edificaciones la construcción de un sistema de filtros con una profundidad entre 1.5m y 2m, en material granular (grava limpia recubierta con geotextil no tejido), con sección de 60 x 60 cm, con tubería perforada de 6" de diámetro y drenaje a la red de aguas lluvias.

El alineamiento y distribución de la red de filtros se deberá precisar en campo una vez realizado el replanteo definitivo del proyecto. Se nos debe informar oportunamente para prestar la asesoría requerida

5.10 INCIDENCIA DE LA IMPLANTACIÓN DEL PROYECTO EN LA INFRAESTRUCTURA Y CONSTRUCCIONES VECINAS.

De acuerdo con lo expuesto anteriormente la implantación del proyecto no afecta adversamente la infraestructura y las viviendas existentes en el entorno inmediato al predio en estudio.

Las actividades que involucran alguna remoción de terreno y que podrían modificar desfavorablemente el equilibrio actual son: movimiento de tierras para implantación de los edificios y excavación de pilas de cimentación; para la ejecución de estas actividades se recomienda:

 Movimientos de tierras: Antes de realizar el movimiento de tierras para la implantación de los edificios se debe realizar todas las obras de drenaje indicadas en el numeral 5.7

Las anteriores recomendaciones están orientadas a preservar la estabilidad de las excavaciones y a la vez son medidas de protección para las edificaciones vecinas y su entorno.

5.11 OTRAS RECOMENDACIONES

- Antes del inicio de los trabajos es indispensable llevar a cabo una evaluación detallada del estado de las vías, edificaciones vecinas y de todo el entorno, con registro fotográfico (ojalá fílmico) que permita verificar cualquier efecto posterior asociado con los trabajos de excavación; de ello debe levantarse un acta debidamente firmada por cada uno de los propietarios involucrados;
- Debe implementarse un adecuado control de asentamientos, a partir del vaciado de la primera placa de los edificios, colocando referencias permanentes que permitan realizar las mediciones sistemáticamente durante el periodo constructivo (realizar controles quincenales durante la etapa de construcción de la estructura y mensualmente durante la etapa de acabados); los resultados obtenidos deben comunicarse oportunamente a esta oficina para su interpretación y evaluación;



Atentamente,

LIBARDO GALLEGO ARIAS

Director

Matrícula Profesional # 05202 – 03984

DAVID GALLEGO MUNERA Ing. Civil – Especialista en geotécnia Matrícula Profesional # 05202 - 170380

Anexos:

1. Registros de exploración y de laboratorio

.G/A ING/ENIEROS CIVILES S.A.S.

- 2. Cuadro resumen de ensayos de laboratorio
- 3. Localización aproximada de perforaciones



ANEXO # 1 REGISTROS DE PERFORACIÓN Y LABORATORIO

					RE	GIST	RO DE PERFO	RACIÓ	N						
INFOR	MAC			NERAL:							Fecha:		IN I e	\I	1
Proye				ficio COMFAMA			COORDENAL	DAS:			4/10/2020		TNC TRANSPORT	<u>IGA</u>	<u>M</u>
Locali				Unión, Antioquia						Perf	oración	ı No.			
Equipo			_	oode		N:	85861				P9				
Perfor				rio Rodríguez		E:	11524	108			loja No				
Respo	nsabi	e:	VVII	liam Suárez		Z:				1	de:	3			
									RESUM	IEN RE	SULTA	DOS L	ABORA	ATORIO	0
Prof. (m)	Muestra No.	Símbolo	Nivel Freático	Descripción del Material	Muestreador	Golpes/15 cm	Registro fotográfico	Humedad Natural (%)	Peso unitario húmedo (kN/m³)	Peso unitario seco (kN/m³)	Compresión simple: q u (kPa)	Límite líquido (%)	Índice Plástico (%)	Pasa malla #200	Clasificación U.S.C.S.
0.0						1									
	1			Capa orgánica, desarrollada sobre ceniza volcánica, limo arcilloso café oscuro a	STD										
0.5				negro con raicillas y pequeños sectores de		1	MARCH AS								
0.5				ceniza, húmedo a muy húmedo, blanda a muy blanda y plástico.											
1.0						2	(0)								
	2			Ceniza volcánica color pardo y	STD		TO SERVICE OF THE PARTY OF THE								
				gris verdoso, sectores menores		2									
1.5				con materia orgánica, blando a firme, poroso, buena estructura.											
				ililie, poloso, buella estructura.											
2.0						1									
	3				STD	_	A								
0.5						2	THE STATE OF THE S								
2.5															
				Book (all and all Community)											
3.0				Depósito aluvial finogranular, arcilla limosa con algo de arena		2	Commence of the Commence of th								
	4			fina, zonas de ceniza removida y	STD			58.5				73.8	36.34	79.49	MH
0.5			Seco	abundante materia orgánica poco		2									
3.5			Se	descompuesta, tallos finos de											
				madera. La muestra 3 es color gris											
4.0				a negro con zonas café a a gris, las 4 y 9 son de colores beige a		2				esiòn	φ				
	5			crema	SH	2		77.9	43,3	KPa	28.3	97.5	49.02	88.55	МН
4.5						2	1								
4.5							1								
							<u> </u>								
5.0	_					1									
	6				STD		1986								
5.5						8									
5.5							Total Value								
6.0				Horizonte IC de granitoide,		9									
	7			descrito en las paginas siguientes.	STD										
6.5						8	1								
0.0															
							Ma								
7.0															

INFORMACIÓN GENERAL: Proyecto: Edificio COMFAMA COORDENADAS: 4/10/2020 Perforación No.	Índice Plástico (%) Pasa malla #200 Clasificación U.S.C.S.
CORDENADAS: Perforación No. Equipo: Trípode N: 858616.9 P9	Índice Plástico (%) Pasa malla #200 Clasificación U.S.C.S.
Companies Comp	Índice Plástico (%) Pasa malla #200 Clasificación U.S.C.S.
Perforador: Mario Rodríguez E: 1152408 Hoja No: 2 de: 3	Índice Plástico (%) Pasa malla #200 Clasificación U.S.C.S.
Responsable: William Suárez Z: 2 de: 3	Índice Plástico (%) Pasa malla #200 Clasificación U.S.C.S.
Cohesion Primed of (Numing of Compression Primed of (Numing of Numing	Índice Plástico (%) Pasa malla #200 Clasificación U.S.C.S.
National Page Pag	Índice Plástico (%) Pasa malla #200 Clasificación U.S.C.S.
National Page Pag	Índice Plástico (%) Pasa malla #200 Clasificación U.S.C.S.
7.0 8 SH 9 32.09 Cohesiòn Ф 19,3 KPa 30.6 37.09 8.0 9 STD 9 10 STD 9 10 STD 11 STD 13	
8 SH 9 10 32.09 19,3 KPa 30.6 37.09	13.47 46.45 SC
7.5	13.47 46.45 SC
7.5	1 1 1
8.0 9 8.5	
9 STD 9 10 STD 11 STD 13	
9 STD 9 10 STD 11 STD 13	
9.0 10 STD 13	
9.0 10 STD 13	
9.0 10 STD 13	
10 STD 13	
10 STD 13	
15	
9.5	
Horizonte IC de granitoide, 10.0 saprolito limo arcilloso con arenas 30	
	13.66 46.53 SC
	10.00 40.00 00
10.5 ligeramente mas grueso y toma	
torios verdes en profundidad,	
húmedo y moderadamente	
11.0 plástico. 31 STD 30	
12 STD 30 32	
11.5	
12.0	
13 STD 35	
12.5	
13.0	
14 STD 38	
41	
13.5	
14.0	

					RE	GIST	RO DE PERFO	RACIĆ	ÒN						
INFOR	MACI	ÓN	GEN	NERAL:							Fecha:		10. 140	NI 478 I	
Proyec				ficio COMFAMA			COORDENAL	DAS:			4/10/2020		INC	IGA	<u>M</u>
Locali				Unión, Antioquia						Perf	oración	n No.			
Equipo				oode		N:	85861				P9				
Perfor Respo				rio Rodríguez liam Suárez		E: Z:	11524	108			loja No				
nespo	iisabi	е.	VVIII	ildiii Sudiez		Ζ.				3	de:	3			
								I	RESUM	IEN RE	SULTA	DOS L	ABOR.	ATORI	0
Prof. (m)	Muestra No.	Símbolo	Nivel Freático	Descripción del Material	Muestreador	Golpes/15 cm	Registro fotográfico	Humedad Natural (%)	Peso unitario húmedo (kN/m³)	Peso unitario seco (kN/m³)	Compresión simple: q u (kPa)	Límite líquido (%)	Índice Plástico (%)	Pasa malla #200	Clasificación U.S.C.S.
14.0	15		Seco	Continua horizonte IC descrito en las paginas anteriores.	STD	40 49 58	April 1								
14.5				Fin del sondeo (14.45 m)		36									
						•									

						REG	ISTRO DE PERFOR	RACION	١						
		IÓN		NERAL: ficios Comfama La Unión							Fecha 7/11/202		INC	CIGA	M
Proyec		n:	_	Unión, Antioquia			COORDENADA	NS:			oració		-p -e-me	5 24 1 1 1 1 2	-11
Equipo			Pet	•		N:	1152345	5			P10				
Perfor	ador:		Jua	n Guillermo Martínez		E:	1151871	1		ŀ	loja No) :			
Respo	nsab	le:	Will	liam Suarez		Z:	-			1	de:	3			
									RESUM	IEN RE	SULTA	DOS L	ABOR	ATORIC)
Prof. (m)	Muestra No.	Símbolo	Nivel Freático	Descripción del Material	Muestreador	Golpes/15 cm	Registro fotográfico	Humedad Natural (%)	Peso unitario húmedo (kN/m³)	Peso unitario seco (kN/m³)	Compresión simple: q _u (kPa)	Límite líquido (%)	Índice Plástico (%)	Pasa malla #200	Clasificación U.S.C.S.
0	1			Capa orgánica, desarrollada sobre ceniza volcánica, limo arcilloso café oscuro o con raicillas y pequeños	STD	3 3 4	THERE								
0.5				sectores de ceniza, húmedo a muy húmedo, blanda a muy blanda y plástico.											
1	2			Ceniza volcánica color pardo y gris verdoso, sectores café	STD	2 3 3	過離								
1.5				amarillentos, con materia orgánica, blando a firme, poroso, buena estructura.			では、								
2	3		2.18		SH	2 2 2									
2.5															
3	4			Depósito aluvial finogranular, arcillas beige, se hace mas blanca en la muestra 5, la muestra 4 presenta abundantes	STD	2 1 2		59.88				73.92	35.25	94.29	МН
3.5				troncos, y tallos. La muestra 5 se reduce esta cantidad de materia orgánica. Materiales muy blando y saturados.			worth.								
4	5				STD	4 4 6									
4.5							With A								
5	6			Horizonte IC de granitoide, roca ígnea	STD	3 4 5									
5.5				plutónica de grano medio a grueso, suelo color blanco a beige con abundante cuarzo que da origen a arcillas arenosas, toma un tono			diffire the second								
6	7			ligeramente mas cremoso en profundidad, presenta abundantes micas claras, sectores amarillos. material firme, húmedo y moderadamente plástico.	STD	3 4 4									
6.5				ligeras variaciones composicionales en profundidad, homogéneo.			WHITE THE PARTY OF								

REGISTRO DE PERFORACIÓN

INFORMACIÓN	N GENERAL:			Fecha:
Proyecto:	Edificios Comfama La Unión		COORDENADAS:	17/11/2020
Localización:	La Unión, Antioquia		COORDENADAS.	Perforación No.
Equipo:	Petty	N:	1152345	P10
Perforador:	Juan Guillermo Martínez	E:	1151871	Hoja No:
Responsable:	William Suarez	Z:	-	2 de: 3



nespo	IISab	e.	VVIII	iam Suarez		Z:				2	de:	3			
								ı	RESUM	IEN RE	SULTA	DOS L	ABOR	ATORIC)
Prof. (m)	Muestra No.	Símbolo	Nivel Freático	Descripción del Material	Muestreador	Golpes/15 cm	Registro fotográfico	Humedad Natural (%)	Peso unitario húmedo (kN/m³)	Peso unitario seco (kN/m³)	Compresión simple: q _u (kPa)	Límite líquido (%)	Índice Plástico (%)	Pasa malla #200	Clasificación U.S.C.S.
7	8				SH	6 4 9									
7.5															
8	9				STD	5 6 6									
8.5															
9	10			8Horizonte IC de granitoide, roca	STD	7 6 8									
9.5				ígnea plutónica de grano medio a grueso, suelo color blanco a beige con abundante cuarzo que			ME TUR								
10	11			da origen a arcillas arenosas, toma un tono ligeramente mas cremoso en profundidad,	STD	7 7 8									
10.5				presenta abundantes micas claras, sectores amarillos. material firme, húmedo y			and the second								
11	12			moderadamente plástico. ligeras variaciones composicionales en profundidad, homogéneo.	STD	6 7 7		33.39				36.73	12.2	46.64	sc
11.5				professional from the profession of the professi			ration.								
12	13				SH	7 9 11		28.3	Cohe 19,4	esiòn KPa	Ф 28	37.85	12.32	49.01	SM
12.5															
13	14				STD	8 8 9									
13.5							Tassilla Constitution								
14		* * *													

					ı	REG	ISTRO DE PERFOR	ACIÓN	1						
INFOR	MAC	ÓN	GEN	NERAL:							Fecha:				1
Proyec				icios Comfama La Unión				_			7/11/202		INC	CIGA	<u>M</u>
Localiz				Jnión, Antioquia			COORDENADA	S:			oraciór		-9 3/80	4 111	-111
Equipo):		Pett	y .		N:	1152345	j			P10				
Perfora	ador:		Jua	n Guillermo Martínez		Ë	1151871			H	loja No) :			
Respo	nsabl	e:	Will	iam Suarez		Z:	-			3	de:	3			
									RESUM	IEN RE	SIII TA	DOST	AROR	ATORIC	,
Prof. (m)	Muestra No.	Símbolo	Nivel Freático	Descripción del Material	Muestreador	Golpes/15 cm	Registro fotográfico	Humedad Natural (%)	Peso unitario húmedo (kN/m³)	Peso unitario seco (kN/m³)	Compresión simple: q u (kPa)	Límite líquido (%)	Índice Plástico (%)	Pasa malla #200	Clasificación U.S.C.S.
14	15			8Horizonte IC de granitoide, roca ígnea plutónica de grano medio a grueso, suelo color	STD	7 9 11	William Control								
14.5				blanco a beige con abundante cuarzo que da origen a arcillas arenosas, toma un tono ligeramente mas cremoso en profundidad, presenta abundantes micas claras, sectores			MANUAL VICENCE								
15	16			amarillos. material firme, húmedo y moderadamente plástico. ligeras variaciones composicionales en profundidad, homogéneo.	STD	8 9 9									
15.5		:Tafal		Fin del sondeo (15,45 m)			温制								
16															
16.5															
17															
17.5															
18															
18.5															
19															
19.5															
20															
20.5															

					ı	REG	ISTRO DE PERFOR	ACIÓN	1						
				NERAL:							Fecha		INC	TICA	AA.
Proyec				ficios Comfama La Unión Jnión, Antioquia			COORDENADA	S:			5/11/202 oració:		70 4104	- N - 1 1 1 1 1	
Equipo			Peti	•		N:	1152363	3		Peri	P11	I NO.			
Perfor				n Guillermo Martínez		E:	858612			H	loja No) :			
Respo	nsab	le:	Will	iam Suarez		Z:	-			1	de:	3			
									RESUM	IEN RE	SULTA	DOS L	ABOR	ATORIC)
Prof. (m)	Muestra No.	Símbolo	Nivel Freático	Descripción del Material	Muestreador	Golpes/15 cm	Registro fotográfico	Humedad Natural (%)	Peso unitario húmedo (kN/m³)	Peso unitario seco (kN/m³)	Compresión simple: q _u (kPa)	Límite líquido (%)	Índice Plástico (%)	Pasa malla #200	Clasificación U.S.C.S.
0	1			Capa orgánica desarrollada sobre depósito aluvial finogranular, arcilla café con abundante	STD	1 1 1	MISA (S)								
0.5				materia orgánica con hojas, tallos y raicillas.		4	Merijija.	-							
1	2		1,06 n	Ceniza volcánica color gris verdoso, con zonas café con abundante materia orgánica	STD	1 1 2									
1.5							Weille.								
2	3				SH	1 2 2									
2.5				Depósito aluvial finogranular, suelos arcillosos a limo arcillosos con abundantes											
3	4			troncos y madera en una matriz color café oscuro con zonas negras, muy blando, húmedo y plástico. Muestras 5 y 6 son suelos sin textura, saturados y con tallos fibrosos de	STD	1 2 1		71.65				84.49	43.07	87.02	МН
3.5				restos vegetales. son suelos muy blandos y plásticos.			ASTIB.								
4	5				STD	1 1 1									
4.5															
5	6	<u> </u>		Horizonte IC de granitoide,	STD	2 3 3		57.26				60.55	27.98	71.14	МН
5.5				limo arcilloso color beige claro con sectores anaranjados, las muestras 6 y 7 tienen poca			William Control								
6	7			textura y están saturadas, se percibe mas limoso y arenoso el suelo en profundidad, suelos	STD	1 3 2									
6.5				blandos, húmedos y plásticos. Material muy homogéneo que conserva la textura de la roca											
7				parental.											

L					ا	REG	ISTRO DE PERFOR	RACIÓN	1						
		ΙÓΝ		NERAL:							Fecha		INC	CIGA	NA.
Proyec				ficios Comfama La Unión			COORDENADA	NS:			5/11/202		2 5 44		<u> </u>
Localiz Equipo		n:	Pet	Jnión, Antioquia		N:	1152363	3		Peri	oración P11	1 NO.			
Perfora				n Guillermo Martínez		E:	858612			ŀ	loja No) :			
Respo	nsab	le:	Will	iam Suarez		Z:	-			2	de:	3			
									RESUM	IEN RE	SULTA	DOS L	ABOR	ATORIO)
Prof. (m)	Muestra No.	Símbolo	Nivel Freático	Descripción del Material	Muestreador	Golpes/15 cm	Registro fotográfico	Humedad Natural (%)	Peso unitario húmedo (kN/m³)	Peso unitario seco (kN/m³)	Compresión simple: q u (kPa)	Límite líquido (%)	Índice Plástico (%)	Pasa malla #200	Clasificación U.S.C.S.
7	8				SH	4 6 8									
7.5															
8	9				STD	6 8 10									
8.5															
9	10				STD	7 6 7	TO THE PARTY OF TH								
9.5				Horizonte IC de granitoide, limo arcilloso color beige claro con sectores anaranjados, las			ASTA TO SERVICE AND ADDRESS OF THE PARTY OF								
10	11			muestras 6 y 7 tienen poca textura y estan saturadas, se	STD	5 8 8									
10.5				percibe mas limoso y arenoso el suelo en profundidad, suelos blandos, humedos y plasticos.			William Control								
11	12			Material muy homogeneo que conserva la textura de la roca parental.	SH	7 9 11		25.8		esiòn KPa	φ 34	37.4	14.2	46.3 	SC
11.5															
12	13				STD	6 8 10									
12.5							annii (
13	14				STD	7 7 9									
13.5															

					ı	REGI	ISTRO DE PERFOR	ACIÓN	1						
INFOR	MAC	ÓN	GEN	NERAL:							Fecha:		18.10	~ <i>~</i> _ ^	8.4
Proyec	to:		Edif	icios Comfama La Unión			COORDENADA	c.		1	5/11/202	:0	INC	IGA	<u></u>
Localiz				Jnión, Antioquia						Perf	oraciór	ı No.			
Equipo			Pett			N:	1152363				P11				
Perfor				n Guillermo Martínez		E:	858612				loja No				
Respo	nsabl	e:	Will	iam Suarez		Z:	-			3	de:	3			
									RESUN	EN RE	SULTA	DOS L	ABOR	ATORIC)
Prof. (m)	Muestra No.	Símbolo	Nivel Freático	Descripción del Material	Muestreador	Golpes/15 cm	Registro fotográfico	Humedad Natural (%)	Peso unitario húmedo (kN/m³)	Peso unitario seco (kN/m³)	Compresión simple: q u (kPa)	Límite líquido (%)	Índice Plástico (%)	Pasa malla #200	Clasificación U.S.C.S.
14	15			Horizonte IC de granitoide, limo arcilloso color beige claro con sectores anaranjados, las	STD	6 8 10									
14.5				muestras 6 y 7 tienen poca textura y están saturadas, se percibe mas limoso y arenoso el suelo en profundidad, suelos blandos, húmedos y plásticos. Material muy homogéneo											
15	16			que conserva la textura de la roca parental.	STD	8 10 12									
15.5			-	Fin del sondeo (15,45 m)			WANTE CONTRACTOR								
16															
16.5															
17															
17.5															
18															
18.5															
19															
19.5															
20															
20.5															

					RE	GIST	RO DE PERFO	RACIĆ	ĎΝ						
				NERAL:							Fecha:		INC	IGA	
Proyect Localization				ficio COMFAMA Unión, Antioquia			COORDENAL	DAS:			1/11/202 oració r		-promote	<u> </u>	<u> </u>
Equipo				pode		N:					P12				
Perfor				rio Rodriguez		E: -					loja No				
Respo	nsabi	e:	VVIII	liam Suárez		Z:				1	de:	2			
								l	RESUN	EN RE		DOS L		ATORIC)
Prof. (m)	Muestra No.	Símbolo	Nivel Freático	Descripción del Material	Muestreador	Golpes/15 cm	Registro fotográfico	Humedad Natural (%)	Peso unitario húmedo (kN/m³)	Peso unitario seco (kN/m³)	Compresión simple: q u (kPa)	Límite líquido (%)	Índice Plástico (%)	Pasa malla #200	Clasificación U.S.C.S.
0.0	1		10 cm	Capa orgánica, desarrollada sobre ceniza volcánica, limo	STD	1 1 1									
0.5				arcilloso café oscuro a negro con raicillas y pequeños sectores de ceniza, húmedo a muy húmedo,											
1.0	2			blanda a muy blanda y plástico. Ceniza volcánica color pardo y	STD	1 2									
1.5				gris verdoso, sectores menores con materia orgánica, blando a firme, poroso, buena estructura.											
2.0	3				STD	1 1 1									
2.5				Depósito aluvial finogranular, limo arcilloso color café oscuro, turbas, abundante materia											
3.0	4			orgánica de color café medio a claro. Homogéneo, muy blando. Húmedo a saturado. Es un	STD	1 1 1	San de								
3.5				material muy blando, saturado.											
4.0	5				SH	2 2									
4.5															
5.0	6			Depósito aluvial finogranular, arcillas color beige con zonas café medio, abundantes tallos, muy	STD	1 1 1	(In a								
5.5				blando y saturado, humedo y plastico. Sectores café, sectores negros tienen abundantes											
6.0	7			contenidos de materia organica (niveles de turba)	STD	1 1 1									
6.5							C								
7.0															

					RE	GIST	RO DE PERFO	RACIÓ	ÒN						
				NERAL:							Fecha		IN I	N .	4.4
Proye				ficio COMFAMA			COORDENAL	DAS:			1/11/202		-10 -00 G	IGA	<u> </u>
Locali Equip				Unión, Antioquia ode		N:	0			Peri	oració P12	n No.			
Perfor				rio Rodriguez		E:	0			-	loja No):			
Respo				liam Suárez		Z:				2	de:	2			
							I				= <i>i</i>		4505	4=0DI	
Prof. (m)	Muestra No.	Símbolo	Nivel Freático	Descripción del Material	Muestreador	Golpes/15 cm	Registro fotográfico	Humedad Natural (%)	Peso unitario CC Númedo (kN/m³)	Peso unitario Na seco (kN/m³)	Compresión Compresión Simple: q u (kPa)	Límite líquido (%)	Indice Plástico (%)	Pasa malla #200	Clasificación U.S.C.S.
7.0	8			Continua depósito aluvial finogranular descrito en la página anterior.	STD	1 2 1		61.45				66.17	29.51	87.23	МН
8.0	9			Horizonte IC, limos arcilloso color blanco Fin del sondeo (8.45 m)	STD	6 6									

					RE	GIST	RO DE PERFO	RACIĆ	ĎΝ						
INFO		IÓN	GEN	NERAL:						<u> </u>	Fecha				
Proye		IOI		ficio COMFAMA							9/11/202		linc	IGA	M
Locali		n:		Unión, Antioquia			COORDENAL	DAS:			oració		Tp (made)	. 190 - 190 -	Series and
Equip				pode		N:					P13				
Perfo		!		rio Rodriguez		E:				ŀ	loja No	D :			
Respo	onsab	le:		liam Suárez		Z:				1	de:	3			
	1	T	r 1		1	1	ī								
									RESUN	IEN RE		ADOS L		ATORIO)
Prof. (m)	Muestra No.	Símbolo	Nivel Freático	Descripción del Material	Muestreador	Golpes/15 cm	Registro fotográfico	Humedad Natural (%)	Peso unitario húmedo (kN/m³)	Peso unitario seco (kN/m³)	Compresión simple: q _u (kPa)	Límite líquido (%)	Índice Plástico (%)	Pasa malla #200	Clasificación U.S.C.S.
0.0			Ε	One sunfuine about doubter		1									
	1		5 cm	Capa orgánica, abundantes raicillas dentro de un limo arcilloso	STD	1									
			_	y cenizas volcánicas, color café		1	I MARINE								
0.5				oscuro a negro, humedad baja, disgregable, algo plástico.											
1.0	2			Ceniza volcánica, limo arcilloso color pardo.	STD	1									
4.5		4				1									
1.5															
2.0		1				1									
	3				STD	0	TOTAL STATE OF THE	103.4				116.3	62.88	85.4	MH
						0	加速 (70%)								
2.5															
							C. C								
3.0		1				0									
0.0	4			Book (all and all Community)	STD	0									
				Depósito aluvial finogranular, limo arcilloso color café oscuro,		0									
3.5				turbas, abundante materia			atter the second								
				orgánica de color café medio a											
4.0		-		claro. Homogéneo, muy blando.		4									
4.0	5			Húmedo a saturado.	SH	5	1								
						4	1								
4.5]								
5.0	1	-			<u> </u>	5		ł							
5.0	6				STD	4									
	ľ				0.5	4									
5.5		1					WATER TO SERVICE THE PARTY OF T								
							History of the second								
	ļ	4						ļ							
6.0	7			Depósito aluvial finogranular,	STD	3									
	′			Arcillas sin textura y pocos restos	الا ا	3	72000								
6.5		1		orgánicos, húmedo, blando a muy		٦									
				blando y plástico. Presenta											
]		algunas zonas amarillas en matriz											
7.0				blanca a beige.											

					RE	GIST	RO DE PERFO	RACIÓ	ÒN						
INFOR Proyect	cto:		Edit	NERAL: ficio COMFAMA Jnión, Antioquia			COORDENA	DAS:			Fecha 9/11/202 oració	0	INC THE FORCE	IGA	M
Equipo) :		Trip	ode		N:	0				P13				
Perfor Respo				rio Rodriguez iam Suárez		E: Z:	0			2 2	Hoja No de:	o :			
Посре				000.02			T								
			١		١.	_			RESUN I	EN KE		ADOS L	I)
Prof. (m)	Muestra No.	Símbolo	Nivel Freático	Descripción del Material	Muestreador	Golpes/15 cm	Registro fotográfico	Humedad Natural (%)	Peso unitario húmedo (kN/m³)	Peso unitario seco (kN/m³)	Compresión simple: q _u (kPa)	Límite líquido (%)	Índice Plástico (%)	Pasa malla #200	Clasificación U.S.C.S.
7.0	8			Continua depósito descrito en la pagina anterior.	SH	3 4 6									
7.5															
8.0	9				STD	8 8 11									
9.0						10	A STORY								
9.5	10				STD										
10.0	11			Horizonte IC de granitoide, limo arcilloso con poca arena, presenta	STD	15 17		33.47				39.64	17.35	48.82	SC
10.5				textura, poco plástico, humedad baja, se observan micas bien desarrolladas, feldespato y cuarzo		18									
11.0	12			en menor proporción, color gris verdoso en profundidad con zonas blancas a crema, se hace mas duro y arenoso en profundidad.	STD	20 23 23									
11.5															
12.0	13				STD	23 23 22									
12.5						23	The state of the s								
13.5	14				STD										
14.0							The state of the s	-							

					RE	GIST	RO DE PERFO	RACIÓ	N						
INFOR	MAC	ÓΝ	GEN	NERAL:							Fecha:				
Proyec				ficio COMFAMA			COORDENAL	DAS:			9/11/2020		INC	IGA	<u>M</u>
Localiz		n:		Unión, Antioquia						Perf	oración	n No.			
Equipo Perfora				ode		N: E:	0				P13 loja N o				
Respo		e:	Will	rio Rodriguez iam Suárez		Z:	0			3	de:). 3			
		<u> </u>				-		1		-					
										IEN RE	SULTA			ATORI	0
Prof. (m)	Muestra No.	Símbolo	Nivel Freático	Descripción del Material	Muestreador	Golpes/15 cm	Registro fotográfico	Humedad Natural (%)	Peso unitario húmedo (kN/m³)	Peso unitario seco (kN/m³)	Compresión simple: q ս (kPa)	Límite líquido (%)	Índice Plástico (%)	Pasa malla #200	Clasificación U.S.C.S.
14.0						27									
	15				STD										
14.5				Continua horizonte IC de granitoide descrito en pagina		31									
				anterior.											
15.0	16				STD	35 37	-: //								
					0.5	39	AND SEL								
15.5				Fin del sondeo (15.45 m)			- Alline State								
						1									
-					-										
-					-										
	_														
					-										
						<u> </u>]				<u> </u>

					RE	GIST	RO DE PERFO	RACIÓ	ĎΝ						
INFOR	MAC	ÓN	GEN	NERAL:							Fecha	:			1
Proyec				ficio COMFAMA			COORDENAL	DAG:			6/11/202	0	INC) IGA	M
Localiz		า:	La l	Jnión, Antioquia						Perf	oració	n No.	-it same	. '	Seq
Equipo			_	oode		N:	85860				P14				
Perfora				rio Rodríguez		E:	11522	288			loja No				
Respo	nsabl	e:	Will	iam Suárez		Z:				1	de:	3			
								ı	RESUN	IEN RE	SULTA	ADOS L	ABOR	ATORIO)
Prof. (m)	Muestra No.	Símbolo	Nivel Freático	Descripción del Material	Muestreador	Golpes/15 cm	Registro fotográfico	Humedad Natural (%)	Peso unitario húmedo (kN/m³)	Peso unitario seco (kN/m³)	Compresión simple: q _u (kPa)	Límite líquido (%)	Índice Plástico (%)	Pasa malla #200	Clasificación U.S.C.S.
0.0	1		10 cm	Capa orgánica, abundantes raicillas dentro de un limo arcilloso	STD	1 1 1									
0.5			1	y cenizas volcánicas, color café oscuro a negro, humedad baja,											
1.0	2			disgregable, algo plástico.	STD	1 2 1									
1.5															
2.0	3				STD	0 0									
2.5															
3.0	4			Depósito aluvial finogranular,	STD	1 1 1	PA	98.95				89.54	39.12	77.54	МН
3.5				intercalaciones de turba con arcillas aluviales café claro a											
4.0	5			crema mas firmes, en profundidad toma colores gris verdoso, material plástico, húmedo a saturado, con algo de ceniza	STD	2 1 1									
4.5				removida en las zonas gris verdosas.											
5.0	6				SH	-									
5.5															
6.0	7				STD	- -									
6.5															
7.0								-							

					RE	GIST	RO DE PERFO	RACIÓ	ÒN						
INFOR Proyect Localize	cto: zació		Edit La l	NERAL: ficio COMFAMA Jnión, Antioquia		N:	COORDENAI				Fecha 6/11/202 oració P14	0	INC THE PERC	IGA	M
Perfor	ador:		Mai	oode rio Rodríguez iam Suárez		E: Z:	11522			l	Hoja No	D :			
									RESUM	IEN RE	SULTA	ADOS L	ABOR	ATORIC	
Prof. (m)	Muestra No.	Símbolo	Nivel Freático	Descripción del Material	Muestreador	Golpes/15 cm	Registro fotográfico	Humedad Natural (%)	Peso unitario húmedo (kN/m³)	Peso unitario seco (kN/m³)	Compresión simple: q _u (kPa)	Límite líquido (%)	Índice Plástico (%)	Pasa malla #200	Clasificación U.S.C.S.
7.0	8				STD	- - -									
7.5 8.0				Continua depósito aluvial finogranular descrito en paginas		0									
8.5	9			anteriores.	STD			82.41				93.94	51.55	87.65	МН
9.0	10				STD	7 8 10									
10.0	11			Horizonte IC, limo arcilloso con	STD	12 13 15		29.67				37.13	12.72	48.54	SC
11.0	12			poca arena, presenta textura, poco plástico, humedad baja, se observan micas bien desarrolladas, feldespato y cuarzo en menor proporción, color gris verdoso hacia la muestra 14 con	SH	15 15 19									
12.0	13			zonas blancas a crema, se hace mas duro y arenoso en profundidad.	STD	19 15 15									
13.0	14				STD	19 21 23									
13.5															

					RE	GIST	RO DE PERFO	RACIÓ	ĎΝ						
INFOR	MACI	ÓΝ	GEN	NERAL:							Fecha:		I		
Proye				ficio COMFAMA			COORDENAL	DAS:			6/11/2020		INC	IGA	M
Locali				Unión, Antioquia						Perf	oración	ı No.			
Equipo Perfor				oode rio Rodríguez		N: E:	85860 11522				P14 Hoja N o				
Respo				iam Suárez		Z:	11022	_00		3	de:	3			
					1		1			IEN DE	OIII TA	DOC 1	ADOD	ATORI	
Prof. (m)	Muestra No.	Símbolo	Nivel Freático	Descripción del Material	Muestreador	Golpes/15 cm	Registro fotográfico	Humedad Natural (%)	Peso unitario	Peso unitario N seco (kN/m³)	Compresión Compresión COM COMPRESIÓN COMPRES	Límite líquido (%)	Índice Plástico (%)	Pasa malla #200	Clasificación U.S.C.S.
14.0	15			Continua Horizonte IC de granitoide descrito en la pagina anterior	STD	27									
15.5	16				STD	31 35 38									

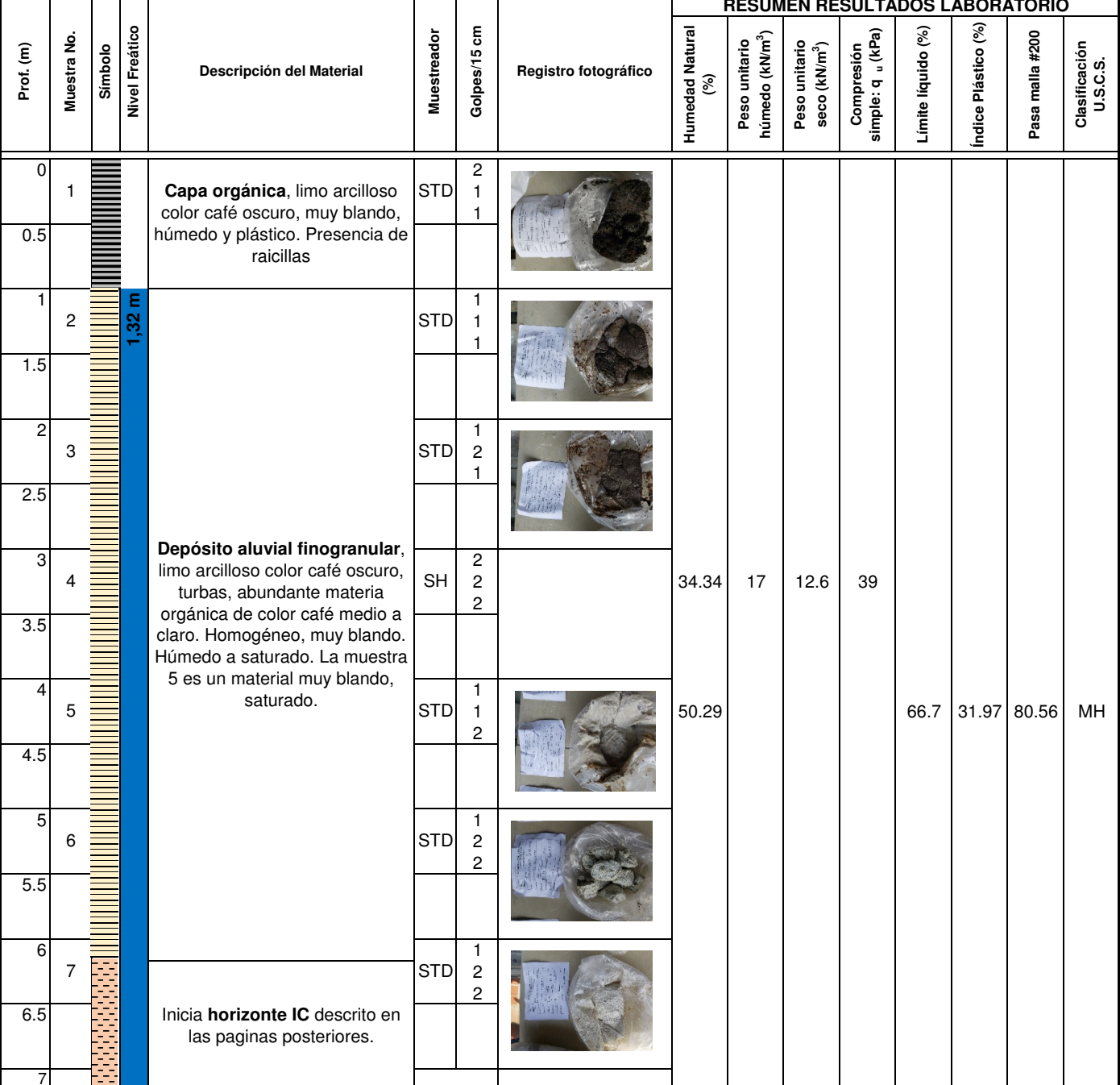
					1	REG	ISTRO DE PERFOR	ACIÓN	1						
NFOR	MAC	IÓN		NERAL:							Fecha:		INIC		. A.4
Proye				icios Comfama La Unión			COORDENADA	S:			0/11/202		71.4.00	CIGA	<u> </u>
Locali: Equip		n:	La l	Jnión, Antioquia		N:	1152443)		Pert	oraciór P17	1 No.			
Perfor		:		n Guillermo Martínez		E:	858616			-	loja No) :			
Respo				iam Suarez		Z:	-			1	de:	3			
		1			ĺ	1	I				<u> </u>			. = 0 = 1	
			_			_				IEN KE			ABOR)
Prof. (m)	Muestra No.	Símbolo	Nivel Freático	Descripción del Material	Muestreador	Golpes/15 cm	Registro fotográfico	Humedad Natural (%)	Peso unitario húmedo (kN/m³)	Peso unitario seco (kN/m³)	Compresión simple: q u (kPa)	Límite líquido (%)	Índice Plástico (%)	Pasa malla #200	Clasificación U.S.C.S.
0	1			Capa orgánica, desarrollada sobre ceniza volcánica, limo arcilloso café oscuro a negro con raicillas y pequeños	STD	1 1 1	arcond.								
0.5			8 m	sectores de ceniza, húmedo a muy húmedo, blanda a muy blanda y plástico.			5)								
1	2		3'0	Ceniza volcánica color pardo y gris verdoso, sectores menores	SH	2 2 1									
1.5				con materia orgánica, blando a firme, poroso, buena estructura.											
2	3				STD	1 2 2	A STATE OF THE STA								
2.5							Windson								
3	4				STD	2 2 2	Marie								
3.5				Depósito aluvial finogranular arcilla café amarillenta claro a			MATTER STATE OF THE STATE OF TH								
4	5			beige, con abundantes materiales vegetales como troncos y fibras, material muy	STD	1 2 3	Maria								
4.5				blando, húmedo y plástico, entre 4 y 6.5 m se hace mas blando y saturado, tiene sectores											
5	6			ocasionales de material negro y gris, muy plástico y homogéneo.	STD	1 1 2	MOTER								
5.5															
6	7				STD	1 2 2									
6.5							All I								

					I	REG	ISTRO DE PERFOR	ACIÓN	1						
INFOR	MAC	IÓN		NERAL:							Fecha		INC		N. A.
Proyec			_	ficios Comfama La Unión			COORDENADA	S:			0/11/202		1146	CIGA	<u> </u>
Locali		n:	La l	Unión, Antioquia		N.	1152443)		Perf	oración P17	1 No.			
Equipor Perfor				n Guillermo Martínez		N: E:	858616			ŀ	loja No):			
Respo				liam Suarez		Z:	-			2	de:	3			
						1					<u> </u>			.=.	
Prof. (m)	Muestra No.	Símbolo	Nivel Freático	Descripción del Material	Muestreador	Golpes/15 cm	Registro fotográfico	Humedad Natural (%)	Peso unitario G húmedo (kN/m³) C	Peso unitario N Seco (kN/m³)	Compresión	Límite líquido (%)	Indice Plástico (%)	Pasa malla #200	Clasificación
7	8				SH	5 4 4		로	_ =		sis	ž	Įug Įug	ď	
7.5				s											
8	9				STD	4 5 6									
8.5															
9	10				STD	5 7 9									
9.5				Horizonte IC de granitoide, Saprolito arcilloso con			a _{out}								
10	11			abundante plagioclasa, cuarzo y pocas micas, consistencia firme a dura, plástico, ligeramente mas	STD	8 9 8	WHITE!								
10.5				arenoso en muestras 15 y 16 y húmedas. Excelente conservación de la textura de la											
11	12			roca parental,	STD	11 13 16									
11.5							William .								
12	13				STD	9 11 12									
12.5							製造								
13	14				STD	10 12									

13.5

						REGI	ISTRO DE PERFOR	ACIÓN	J						
INFOR	MAC	ΙÓΝ	GFI	NERAL:							Fecha:				1
Proyec				ficios Comfama La Unión				_			0/11/202		INC	CIGA	<u>M</u>
Localiz				Jnión, Antioquia			COORDENADA	S:			oraciór		-p -c-mc	S. Sections 8	-111
Equipo			Pet			N:	1152443	3			P17				
Perfor	ador:		Jua	n Guillermo Martínez		E:	858616			Н	loja No) :			
Respo	nsab	le:	Will	iam Suarez		Z:	-			3	de:	3			
									DECLIN	IENI DE	CIII TA	DOS I	AROD	ATORIC	`
Prof. (m)	Muestra No.	Símbolo	Nivel Freático	Descripción del Material	Muestreador	Golpes/15 cm	Registro fotográfico	Humedad Natural (%)	Peso unitario húmedo (kN/m³)	Peso unitario	Compresión Simple: q u (kPa)	Límite líquido (%)	Índice Plástico (%)	Pasa malla #200	Clasificación U.S.C.S.
14	15			Horizonte IC de granitoide, Saprolito arcilloso	STD	9 10 12									
14.5				con abundante plagioclasa, cuarzo y pocas micas, consistencia firme a dura, plástico, ligeramente mas arenoso en muestras 15 y 16 y húmedas. Excelente conservación de la			Total S								
15	16			textura de la roca parental,	STD	10 10 11		-							
15.5		, , , ,		Fin del sondeo (15,45 m)		11									
16															
16.5															
17															
17.5															
18															
18.5															
19															
19.5															
20															
20.5															

REGISTRO DE PERFORACIÓN INFORMACIÓN GENERAL: Fecha: Proyecto: Edificios Comfama La Unión 24/11/2020 **COORDENADAS:** Perforación No. Localización: La Unión, Antioquia 1152304 P18 Equipo: Petty N: 858610 Hoja No: Perforador: Juan Guillermo Martínez E: Responsable: William Suarez Z: de: **RESUMEN RESULTADOS LABORATORIO**



		. ,				nEG	STRO DE PERFOR	ACION	١	1	_				
		IÓN		NERAL:							Fecha		INC	CIGA	M
roye				icios Comfama La Unión			COORDENADA	S:			4/11/202		2 3 -4	<u> </u>	
ocali				Jnión, Antioquia			145000			Perf	oració	1 No.			
Equipo Perfor			Peti	ry n Guillermo Martínez		N:	115230 ² 858610				P18 loja N o				
Respo				iam Suarez		E: Z:				2	de:	3. 3			
icopo	HJUD		****	ian outrez											
u)	No.	<u>o</u>	ático		ador	E C III						DOS L	_		
Prof. (m)	Muestra No.	Símbolo	Nivel Freático	Descripción del Material	Muestreador	Golpes/15 cm	Registro fotográfico	Humedad Natural (%)	Peso unitario húmedo (kN/m³)	Peso unitario seco (kN/m³)	Compresión simple: q _u (kPa)	Límite líquido (%)	Índice Plástico (%)	Pasa malla #200	Clasificación
7	8				STD										
7.5						3									
						_			0.1	.,	φ	<u> </u>			
8	9	,			SH	5 7		45.6		esiòn KPa	Ψ 11	61 40	28.76	65.26	MH
	9				311	9		45.6	34,3	NΓα	11	01.42	20.70	00.30	IVII
8.5															
9	10				STD	7 8 8		-							
9.5				Horizonte IC de granitoide, limo arcilloso blanco con											
10	11			sectores gris verdosos, algo de cuarzo, saprolito con excelente	STD	5 5 7									
10.5				conservación de la textura. Abundante plagioclasa, cuarzo y pocas micas, consistencia firme											
11	12			a dura, plástico, ligeramente mas arenoso en profundidad.	STD	5 7 10	MOTHER TO								
11.5															
12	13				STD	8 9 10		1							
12.5															
13						7		1]
	14				STD	10 11									

13.5

					Ī	REG	STRO DE PERFOR	ACIÓN	1						
INFOR	MAC			NERAL:							Fecha		INIC	` C-^	1.4
Proyec				icios Comfama La Unión			COORDENADA	S:			4/11/202		11.40	<u>IGA</u>	-IV1
Localiz				Jnión, Antioquia			1152304			Perf	oraciói P18	n No.			
Equipo Perfor			Pett	n Guillermo Martínez		N: E:	858610				loja No	٠.			
Respo				iam Suarez		Z:	-			3	de:	3			
							I							. = 0 = 1.0	
						_				IEN KE		ADOS L)
Prof. (m)	Muestra No.	Símbolo	Nivel Freático	Descripción del Material	Muestreador	Golpes/15 cm	Registro fotográfico	Humedad Natural (%)	Peso unitario húmedo (kN/m³)	Peso unitario seco (kN/m³)	Compresión simple: q ս (kPa)	Límite líquido (%)	Índice Plástico (%)	Pasa malla #200	Clasificación U.S.C.S.
14	15				STD	10 11 13		32.73				38.08	12.86	44.91	SM
14.5				Continua horizonte IC descrito en paginas anteriores.											
15	16				STD	9 12 14	(a) (a)								
15.5				Fin del sondeo (15,45 m)											
16															
16.5															
17															
17.5															
18															
18.5															
19															
19.5															
20															
20.5															



ANEXO # 2

CUADRO RESUMEN DE RESULTADOS



OBRA: "EL EDÉN" - ETAPA 1 - MUNICIPIO DE LA UNIÓN (ANTIOQUIA)

RESUMEN DE RESULTADOS DE EXPLORACIÓN Y DE LABORATORIO

PERFORACIÓN	PASA 200	LÍMITE	LÍMITE	ÍNDICE DE	HUMEDAD	CLASIFICACIÓN	COMPRESIÓN	DENSIDAD
		LÍQUIDO	PLÁSTICO	PLASTICIDAD	NATURAL	UNIFICADA	SIMPLE	SECA
#	(%)				(%)	(U.S.C.)	(Kg/cm²)	(Kg/m³)
P9-M4	80	74	38	36	59	MH		
M5	89	98	49	49	78	MH		
M8	46	37	24	13	32	SC		
M11	47	38	25	13	29	SC		
P10-M4	94	74	39	35	60	MH		
M12	47	37	25	12	33	SC		
M13	49	38	26	12	28	SM		
P11-M4	87	84	41	43	72	MH		
M6	71	61	33	28	57	MH		
M12	46	37	23	14	26	SC		
P12-M8	87	66	37	29	61	MH		
P13-M3	85	116	54	62	103	MH		
M11	49	40	22	18	34	SC		
P14-M4	78	90	50	40	99	MH		
M9	88	94	42	52	82	MH		
M11	49	37	24	13	30	SC		

PERFORACIÓN	PASA 200	LÍMITE	LÍMITE	ÍNDICE DE	HUMEDAD	CLASIFICACIÓN	COMPRESIÓN	DENSIDAD
		LÍQUIDO	PLÁSTICO	PLASTICIDAD	NATURAL	UNIFICADA	SIMPLE	SECA
#	(%)				(%)	(U.S.C.)	(Kg/cm²)	(Kg/m³)
P18-M4					34			
M5	81	67	35	32	50	MH		
M9	65	61	33	28	46	MH		
M15	45	38	25	13	33	SM		



ANEXO#3

LOCALIZACION DE PERFORACIONES

